Министерство образования и науки Российской Федерации

Государственное образовательное учреждение высшего профессионального образования «Оренбургский государственный университет»

Кафедра математического анализа

И.В.Крючкова

РЯДЫ И ПРЕОБРАЗОВАНИЕ ФУРЬЕ

Методические указания

Рекомендовано к изданию Редакционно-издательским советом Государственного образовательного учреждения высшего профессионального образования «Оренбургский государственный университет»

Оренбург ИПК ГОУ ОГУ 2011 УДК 517.443(07) ББК 22.161 Я7 К85

Рецензент - кандидат физико-математических наук Г.А.Ивашкина

Крючкова, И.В.

K85

Ряды и преобразование Фурье: методические указания/ И.В. Крючкова; Оренбургский гос.ун-т — Оренбург: ОГУ, 2011. - 59 с.

В методических указаниях рассмотрена теория рядов и преобразования Фурье, приводятся примеры решения задач, в том числе с использованием системы MathCAD, сформулированы задачи для самостоятельного решения.

Методические указания предназначены для студентов инженерных специальностей, обучающихся по программам высшего профессионального образования, и преподавателей, ведущих занятия по данному разделу курса математического анализа.

УДК 517.443(07) ББК 22.161 Я7

[©] Крючкова И.В., 2011

[©] ГОУ ОГУ, 2011

Содержание

| Введение | 4 |
|--|--------|
| 1 Ряды Фурье | |
| 1.1 Тригонометрический ряд | 5 |
| 1.2 Теорема Дирихле | 7 |
| 1.3 Неполные ряды Фурье | 10 |
| 1.4 «Раздельная» запись ряда Фурье | 10 |
| 1.5 Разложение функций, заданных на отрезке | 11 |
| 1.6 Разложение в ряд Фурье на произвольном отрезке | 15 |
| 1.7 Комплексная запись ряда Фурье | 16 |
| 1.8Указания к решению задач по теме «Тригонометрические ряды» в системе Ма | athCAD |
| | 18 |
| 1.9 Примеры решения задач | 20 |
| 2 Преобразование Фурье | 31 |
| 2.1 Интеграл Фурье | 31 |
| 2.2 Интеграл Фурье четной и нечетной функций | 33 |
| 2.3 Косинус- и синус-преобразования Фурье | |
| 2.4 Комплексная форма записи интеграла Фурье | 37 |
| 2.5 Указания к решению задач по теме «Преобразование Фурье» в системе Math | ιCAD |
| | |
| 2.6 Примеры решения задач | 40 |
| 3 Задачи для самостоятельного решения | 44 |
| Список использованных источников | 46 |
| Припожение А | 47 |

Введение

В настоящее время появилось много учебных пособий, излагающих теорию обобщенных рядов Фурье с точки зрения функционального анализа. Однако, такое общее изложение слишком далеко от прикладных задач, решаемых инженерами и специалистами в электротехнике, электронике и во многих других прикладных и теоретических дисциплинах.

В данных методических указаниях излагается теория тригонометрических рядов Фурье, преобразования Фурье. Изложение теоретического материала ведется на доступном для студентов уровне доказательности. В согласии с обычной практикой прохождения данного раздела курса математического анализа изложение проводится при помощи нестрогих, «эвристических» рассуждений, доказательство теоремы Дирихле о разложении в ряд Фурье опущено. Приводятся примеры решения задач, в том числе с использованием системы MathCAD.

В методических указаниях даются рекомендации по использованию символьного процессора MathCAD, что облегчит будущим инженерам применение теории преобразования Фурье в дальнейшей практической деятельности.

Методические указания предназначены для студентов инженерных специальностей, обучающихся по программам высшего профессионального образования, и преподавателей, ведущих занятия по данному разделу курса математического анализа.

1 Ряды Фурье

1.1 Тригонометрический ряд

Системой тригонометрических функций называется совокупность функций:

$$1, \cos x, \sin x, \cos 2x, \sin 2x, \dots, \cos nx, \sin nx, \dots \tag{1.1}$$

Система тригонометрических функций является подмножеством множества непрерывных функций на всей числовой оси. Как известно множество непрерывных функций образует линейное пространство.

В этом пространстве скалярное произведение можно ввести следующим

образом:
$$(f(x); g(x)) = \int_{-\pi}^{\pi} f(x)g(x)dx$$
.

Система тригонометрических функций (1.1) является ортогональной, т.е.

$$(f(x);g(x)) = \begin{cases} 0, f(x) \neq g(x) \\ \pi, f(x) = g(x) \end{cases}$$
 (1.2)

Оставляем читателю самостоятельно убедиться в этом.

Тригонометрическим рядом Фурье называется ряд вида:

$$\frac{a_0}{2} + \sum_{n=1}^{\infty} \left(a_n \cdot \cos(n \cdot x) + b_n \cdot \sin(n \cdot x) \right) , \qquad a_n \in R, \ b_n \in R$$
 (1.3)

Так как $\cos nx$, $\sin nx$ - периодические функции с периодом $T = \frac{2\pi}{n}$, то сумма ряда (1.3), если она существует, имеет период $T = 2\pi$.

Предположим, что тригонометрический ряд сходится, причем равномерно, на отрезке $[-\pi; \pi]$. S(x) - его сумма, она будет являться непрерывной функцией.

Рассмотрим ряды:

$$S(x) \cdot \cos Nx = \frac{a_0}{2} \cos Nx + \sum_{n=1}^{\infty} (a_n \cdot \cos nx \cdot \cos Nx + b_n \cdot \sin nx \cdot \cos Nx)$$
 (1.4)

$$S(x)\cdot\sin Nx = \frac{a_0}{2}\sin Nx + \sum_{n=1}^{\infty} (a_n\cos nx \cdot \sin Nx + b_n \cdot \sin nx \cdot \sin Nx)$$
 (1.5)

Если тригонометрический ряд (1.3) сходится равномерно, то ряды (1.4) и (1.5) также сходятся равномерно, и их можно почленно интегрировать.

Проинтегрируем тригонометрический ряд (1.3):

$$\int_{-\pi}^{\pi} S(x) dx = \frac{a_0}{2} \cdot \int_{-\pi}^{\pi} dx + \sum_{n=1}^{\infty} (a_n \cdot \int_{-\pi}^{\pi} \cos(n \cdot x) dx + b_n \cdot \int_{-\pi}^{\pi} \sin(n \cdot x) dx)$$

И в силу утверждения (1.2):

$$\int_{-\pi}^{\pi} S(x)dx = \frac{a_0}{2} \cdot 2\pi = a_0 \cdot \pi$$

Отсюда: $a_0 = \frac{1}{\pi} \cdot \int_{-\pi}^{\pi} S(x) dx$.

Аналогично проинтегрируем ряды (1.4) и (1.5):

$$\int_{-\pi}^{\pi} S(x) \cdot \cos(N \cdot x) dx = \frac{a_0}{2} \cdot \int_{-\pi}^{\pi} \cos(N \cdot x) dx + \int_{-\pi}^{\infty} (a_n \cdot \int_{-\pi}^{\pi} \cos(n \cdot x) \cdot \cos(N \cdot x) dx + b_n \cdot \int_{-\pi}^{\pi} \sin(n \cdot x) \cdot \cos(N \cdot x) dx) =$$

$$= a_N \cdot \int_{-\pi}^{\pi} \cos^2(N \cdot x) dx = a_N \cdot \pi$$

$$a_N = \frac{1}{\pi} \cdot \int_{-\pi}^{\pi} S(x) \cdot \cos Nx dx$$

$$\int_{-\pi}^{\pi} S(x) \cdot \sin(N \cdot x) dx = \frac{a_0}{2} \cdot \int_{-\pi}^{\pi} \sin(N \cdot x) dx + \int_{-\pi}^{\pi} \sin(n \cdot x) \cdot \sin(N \cdot x) dx + \int_{-\pi}^{\pi} \sin^2(n \cdot x) \cdot \sin(N \cdot x) dx + \int_{-\pi}^{\pi} \sin^2(N \cdot x) dx = b_N \cdot \int_{-\pi}^{\pi} \sin^2(N \cdot x) dx = b_N \cdot \pi$$

$$b_N = \frac{1}{\pi} \cdot \int_{-\pi}^{\pi} S(x) \cdot \sin(N \cdot x) dx$$

Получили формулы Эйлера – Фурье функции S(x):

$$a_{0} = \frac{1}{\pi} \cdot \int_{-\pi}^{\pi} S(x) dx$$

$$a_{n} = \frac{1}{\pi} \cdot \int_{-\pi}^{\pi} S(x) \cdot \cos(n \cdot x) dx$$

$$b_{n} = \frac{1}{\pi} \cdot \int_{-\pi}^{\pi} S(x) \cdot \sin(n \cdot x) dx$$

$$(1.6)$$

Таким образом, каждой интегрируемой на отрезке $[-\pi;\pi]$ функции f(x) можно поставить в соответствие ее ряд Фурье:

$$\frac{a_0}{2} + \sum_{n=1}^{\infty} \left(a_n \cdot \cos(n \cdot x) + b_n \cdot \sin(n \cdot x) \right), \tag{1.7}$$

$$a_0 = \frac{1}{\pi} \cdot \int_{-\pi}^{\pi} f(x)dx$$

$$a_n = \frac{1}{\pi} \cdot \int_{-\pi}^{\pi} f(x) \cdot \cos(n \cdot x) dx$$

$$b_n = \frac{1}{\pi} \cdot \int_{-\pi}^{\pi} f(x) \cdot \sin(n \cdot x) dx$$

Однако, выводя формулы Эйлера-Фурье, мы предполагали равномерную сходимость тригонометрического ряда и равенство

 $f(x) = \frac{a_0}{2} + \sum_{n=1}^{\infty} (a_n \cdot \cos(n \cdot x) + b_n \cdot \sin(n \cdot x))$ пока еще не доказано. В следующей теореме сформулированы достаточные условия разложимости функции в ряд Фурье.

1.2 Теорема Дирихле

Условия Дирихле:

пусть на отрезке $[-\pi;\pi]$ задана ограниченная функция f(x), и, кроме того:

- 1) функция f(x) кусочно-непрерывна, т.е. имеет на отрезке $[-\pi;\pi]$ лишь конечное число точек разрыва I-ого рода.
- 2) функция f(x) кусочно-монотонна, т.е. отрезок $[-\pi;\pi]$ можно разбить на конечное число частичных отрезков, на каждом из которых f(x) монотонно возрастает или убывает, либо остается постоянной.

При выполнении условий Дирихле функция f(x) разлагается в тригонометрический ряд (1.7), который сходится на отрезке $[-\pi;\pi]$, причем:

1) в каждой точке x_0 непрерывности f(x) сумма ряда S(x) равна значению функции f(x) в этой точке:

$$S(x_0) = f(x_0)$$

2) в каждой точке x_1 разрыва функции f(x) сумма ряда S(x) равна среднему арифметическому левого и правого пределов f(x) в этой точке:

$$S(x_1) = \frac{1}{2} \cdot \left(\lim_{x \to x_1 - 0} f(x) + \lim_{x \to x_1 + 0} f(x) \right)$$

3) в точках $x = -\pi$ и $x = \pi$ сумма ряда равна среднему арифметическому правого предела f(x) в точке $-\pi$ и левого предела f(x) в точке π :

$$S(-\pi) = S(\pi) = \frac{1}{2} \cdot \left(\lim_{x \to -\pi + 0} f(x) + \lim_{x \to \pi - 0} f(x) \right)$$

4) на любом частичном отрезке $[\alpha; \beta] \subset [-\pi; \pi]$, свободного от точек разрыва f(x) ряд Фурье равномерно сходится к f(x).

Замечание:

1. Если функция f(x) удовлетворяет на $[-\pi; \pi]$ условиям Дирихле и является периодической с периодом $T = 2 \cdot \pi$, то ряд (1.7) будет сходиться к f(x) не только на отрезке $[-\pi; \pi]$, но и во всех точках действительной оси.

Характер сходимости ряда (1.7) к функции f(x) в этом случае можно охарактеризовать законом среднего арифметического:

- в точках непрерывности: $S(x_0) = f(x_0) = \frac{1}{2} \cdot \left(\lim_{x \to x_0 0} f(x) + \lim_{x \to x_0 + 0} f(x) \right)$
- в точках разрыва это следует из пункта 2 теоремы Дирихле.
- в точках π и −π:

$$S(\pi) = \frac{1}{2} \cdot \left(\lim_{x \to -\pi + 0} f(x) + \lim_{x \to \pi - 0} f(x) \right) = \frac{1}{2} \cdot \left(\lim_{x \to \pi + 0} f(x) + \lim_{x \to \pi + 0} f(x) \right)$$
$$S(-\pi) = \frac{1}{2} \cdot \left(\lim_{x \to -\pi + 0} f(x) + \lim_{x \to \pi - 0} f(x) \right) = \frac{1}{2} \cdot \left(\lim_{x \to -\pi + 0} f(x) + \lim_{x \to -\pi - 0} f(x) \right)$$

Таким образом, в точках разрыва функции и в точках $x = (2 \cdot k + 1) \cdot \pi$ значения S(x) могут отличаться от значений функции f(x) в этих точках. Пример показан на рисунке 1.1.

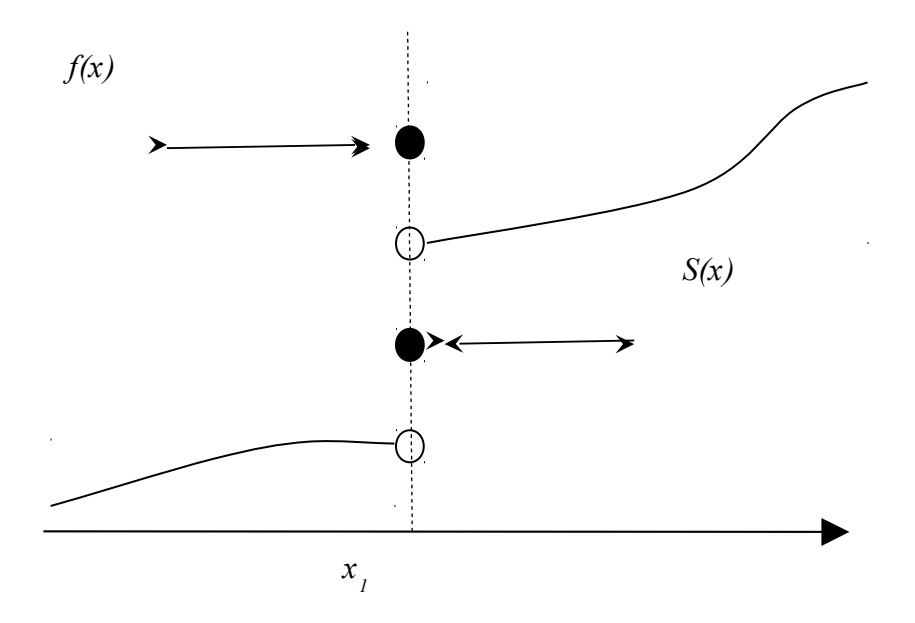


Рисунок 1.1 – Сумма ряда Фурье в точке разрыва

Поэтому на практике заранее (до разложения) не задают значения функции f(x) в точках разрыва и в точках $(2 \cdot k + 1) \cdot \pi$.

2. в случае, когда функция $f^{(x)}$ не является периодической или имеет период, отличный от 2π , разложение в ряд (1.7) справедливо только на отрезке [- π ; π]. Сумма ряда $S^{(x)}$ повторяет свои значения, как периодическая функция с периодом 2π , и за пределами отрезка отличается от $f^{(x)}$.

Пример 1.1

Разложить функцию $f(x) = e^x$, - $\mathbb{I} < x < \mathbb{I}$ в ряд Фурье.

Решение.

Применим формулы Эйлера-Фурье:

$$a_0 = \frac{1}{\pi} \cdot \int_{-\pi}^{\pi} e^x dx = \frac{1}{\pi} \cdot e^x \Big|_{-\pi}^{\pi} = \frac{1}{\pi} \cdot \left(e^{\pi} - e^{-\pi} \right)$$

$$a_n = \frac{1}{\pi} \cdot \int_{-\pi}^{\pi} e^x \cdot \cos nx dx = \frac{(-1)^n \cdot (e^{\pi} - e^{-\pi})}{\pi \cdot (1 + n^2)}$$

$$b_n = \frac{1}{\pi} \cdot \int_{-\pi}^{\pi} e^x \cdot \sin nx dx = \frac{(-1)^n \cdot n \cdot (e^{\pi} - e^{-\pi})}{\pi \cdot (1 + n^2)}$$

$$f(x) = \frac{e^{\pi} - e^{-\pi}}{\pi} \cdot \left(\frac{1}{2} - \frac{\cos x}{2} + \frac{\sin x}{2} + \frac{\cos 2x}{5} - \frac{2 \cdot \sin 2x}{5} - \dots\right)$$

Исходя из теоремы Дирихле, сумма полученного ряда представлена на рисунке 1.2.

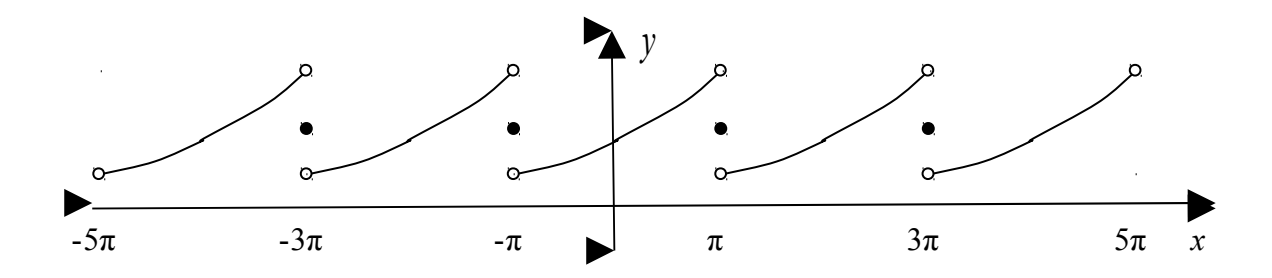


Рисунок 1.2 – Сумма ряда

1.3 Неполные ряды Фурье

Разложим в ряд Фурье четную функцию $f_1(x)$:

$$b_n = \frac{1}{\pi} \cdot \int\limits_{-\pi}^{\pi} f_1(x) \cdot \sin(n \cdot x) dx = 0$$
, так как под интегралом стоит нечетная функция, а

интегрирование идет по симметричному отрезку.

$$a_0 = \frac{1}{\pi} \cdot \int_{-\pi}^{\pi} f_1(x) dx = \frac{2}{\pi} \cdot \int_{0}^{\pi} f_1(x) dx$$
, так как $f_1(x)$ - четная функция.

$$a_n = \frac{1}{\pi} \cdot \int_{-\pi}^{\pi} f_1(x) \cdot \cos(n \cdot x) dx = \frac{2}{\pi} \cdot \int_{0}^{\pi} f_1(x) \cdot \cos(n \cdot x) dx, \text{ Tak kak}$$

 $f_1(x) \cdot \cos(n \cdot x)$ - четная функция.

Получили разложение четной функции в неполный ряд Фурье:

$$f_1(x) = \frac{\widetilde{a}_0}{2} + \sum_{n=1}^{\infty} \widetilde{a}_n \cdot \cos(n \cdot x), \qquad (1.8)$$

где
$$\widetilde{a}_0 = \frac{2}{\pi} \cdot \int_0^{\pi} f_1(x) dx$$
, $\widetilde{a}_n = \frac{2}{\pi} \cdot \int_0^{\pi} f_1(x) \cdot \cos(n \cdot x) dx$

Аналогично получается разложение нечетной функции в неполный ряд Фурье:

$$f_2(x) = \sum_{n=1}^{\infty} \widetilde{b}_n \cdot \sin(n \cdot x), \tag{1.9}$$

где
$$\widetilde{b}_n = \frac{2}{\pi} \cdot \int_{0}^{\pi} f_2(x) \cdot \sin(n \cdot x) dx$$

1.4 «Раздельная» запись ряда Фурье

Под раздельной записью ряда Фурье понимают:

$$f(x) = \frac{a_0}{2} + \sum_{n=1}^{\infty} a_n \cdot \cos(n \cdot x) + \sum_{n=1}^{\infty} b_n \cdot \sin(n \cdot x)$$

Обоснуем возможность подобной записи. Любую функцию f(x) можно представить в виде суммы четной и нечетной функций:

$$f(x) = f_1(x) + f_2(x),$$
 где
$$f_1(-x) = f_1(x)$$
 $f_2(-x) = -f_2(x)$

Покажем это:

если
$$f(x) = f_1(x) + f_2(x)$$
, то $f(-x) = f_1(-x) + f_2(-x) = f_1(x) - f_2(x)$, отсюда

$$\left| \begin{array}{ccccc}
 f(x) + f(-x) &= & 2 \cdot f_1(x) \\
 f(x) - f(-x) &= & 2 \cdot f_2(x)
 \end{array} \right| \Rightarrow
 \left| \begin{array}{ccccc}
 f_1(x) &= & \frac{f(x) + f(-x)}{2} \\
 f_2(x) &= & \frac{f(x) - f(-x)}{2}
 \end{array} \right|$$

Если функция f(x) удовлетворяет теореме Дирихле, тогда $f_1(x)$ и $f_2(x)$ также удовлетворяют условиям теоремы Дирихле и разлагаются в неполные ряды (1.8), (1.9).

Для обоснования возможности раздельной записи ряда Фурье осталось

показать:
$$a_n = \widetilde{a}_n$$
 $b_n = \widetilde{b}_n$.

$$\widetilde{a}_{n} = \frac{2}{\pi} \cdot \int_{0}^{\pi} f(x) \cdot \cos(n \cdot x) dx = \frac{2}{\pi} \cdot \int_{0}^{\pi} \frac{f(x) + f(-x)}{2} \cdot \cos(n \cdot x) dx =$$

$$= \frac{1}{\pi} \cdot \left(\int_{0}^{\pi} f(x) \cdot \cos(n \cdot x) dx + \int_{0}^{\pi} f(-x) \cdot \cos(n \cdot x) dx\right) = \begin{vmatrix} t = -x \\ dt = -dx \end{vmatrix} =$$

$$= \frac{1}{\pi} \cdot \left(\int_{0}^{\pi} f(x) \cdot \cos(n \cdot x) dx - \int_{0}^{\pi} f(t) \cdot \cos(n \cdot t) dt\right) = \begin{vmatrix} x = t \\ dx = dt \end{vmatrix} =$$

$$= \frac{1}{\pi} \cdot \left(\int_{0}^{\pi} f(x) \cdot \cos(n \cdot x) dx + \int_{-\pi}^{\pi} f(x) \cdot \cos(n \cdot x) dx\right) =$$

$$= \frac{1}{\pi} \cdot \left(\int_{0}^{\pi} f(x) \cdot \cos(n \cdot x) dx + \int_{-\pi}^{\pi} f(x) \cdot \cos(n \cdot x) dx\right) =$$

$$= \frac{1}{\pi} \cdot \left(\int_{0}^{\pi} f(x) \cdot \cos(n \cdot x) dx + \int_{-\pi}^{\pi} f(x) \cdot \cos(n \cdot x) dx\right) =$$

Аналогично показывается $\widetilde{b}_n = b_n$.

1.5 Разложение функций, заданных на отрезке [-l;l]

Пусть функция f(x) задана на отрезке $[-l;l],\ l>0$. И f(x) удовлетворяет условиям Дирихле на этом отрезке.

Выполним преобразование $t = \frac{\pi}{l} \cdot x$ - $l < x < l \Rightarrow -\pi < t < \pi$

Положим $F(t) = f(\frac{l}{\pi} \cdot t) = f(x)$. F(t) удовлетворяет условиям Дирихле на $[-\pi;$ $\pi]$. Разложим F(t) в тригонометрический ряд:

$$F(t) = \frac{a_0}{2} + \sum_{n=1}^{\infty} \left(a_n \cdot \cos(n \cdot t) + b_n \cdot \sin(n \cdot t) \right)$$

$$a_0 = \frac{1}{\pi} \cdot \int_{-\pi}^{\pi} F(t) dt = \begin{vmatrix} t = \frac{\pi}{l} \cdot x; dt = \frac{\pi}{l} \cdot dx \\ t = -\pi; x = -l \\ t = \pi; x = l \end{vmatrix} = \frac{1}{\pi} \cdot \int_{-l}^{l} F(\frac{\pi}{l} \cdot x) \cdot \frac{\pi}{l} dx = \frac{1}{l} \cdot \int_{-l}^{l} f(x) dx$$

Аналогично вычисляются a_n и b_n .

Получили следующее разложение:

$$f(x) = \frac{a_0}{2} + \sum_{n=1}^{\infty} \left(a_n \cdot \cos \frac{n \cdot \pi \cdot x}{l} + b_n \cdot \sin \frac{n \cdot \pi \cdot x}{l} \right), \tag{1.10}$$

где

$$a_n = \frac{1}{l} \cdot \int_{-l}^{l} f(x) \cdot \cos \frac{n \cdot \pi \cdot x}{l} dx$$

$$b_n = \frac{1}{l} \cdot \int_{-l}^{l} f(x) \cdot \sin \frac{n \cdot \pi \cdot x}{l} dx$$

$$a_0 = \frac{1}{l} \cdot \int_{-l}^{l} f(x) dx$$

Можно переформулировать теорему Дирихле для функций, заданных на отрезке [-l;l], заменив символ π на l.

Теперь получим неполные ряды Фурье функций, заданных на отрезке [-l;l]. Пусть $f_1(x)$ - четная функция. Тогда:

$$f_1(x) = \frac{\widetilde{a}_0}{2} + \sum_{n=1}^{\infty} \widetilde{a}_n \cdot \cos \frac{n \cdot \pi \cdot x}{l}, \qquad (1.11)$$

где

$$\widetilde{a}_0 = \frac{2}{l} \cdot \int_0^l f_1(x) dx$$

$$\widetilde{a}_n = \frac{2}{l} \cdot \int_0^l f_1(x) \cdot \cos \frac{n \cdot \pi \cdot x}{l} dx$$

Пусть $f_2(x)$ - нечетная функция. Тогда:

$$f_2(x) = \sum_{n=1}^{\infty} \widetilde{b}_n \cdot \sin \frac{n \cdot \pi \cdot x}{l}, \qquad (1.12)$$

где
$$\widetilde{b}_n = \frac{2}{l} \cdot \int_0^l f_2(x) \cdot \sin \frac{n \cdot \pi \cdot x}{l} dx$$

Пример 1.2

Разложим в тригонометрический ряд функцию f(x), заданную на промежутке (-2; 2) .

$$f(x) = \begin{cases} 2, & -2 < x < 0 \\ 3, & 0 < x < 2 \end{cases}$$

Решение.

Условия Дирихле выполнены; l = 2.

$$a_{0} = \frac{1}{2} \cdot \int_{-2}^{2} f(x) dx = \frac{1}{2} \cdot \left(\int_{-2}^{0} 2 dx + \int_{0}^{2} 3 dx \right) = \frac{1}{2} \cdot \left(2x \Big|_{-2}^{0} + 3x \Big|_{0}^{2} \right) = 5$$

$$a_{n} = \frac{1}{2} \cdot \left(\int_{-2}^{0} 2 \cdot \cos \frac{n \cdot \pi \cdot x}{2} dx + \int_{0}^{2} 3 \cdot \cos \frac{n \cdot \pi \cdot x}{2} dx \right) = \frac{1}{2} \cdot \left(\frac{2 \cdot 2}{n \cdot \pi} \cdot \sin \frac{n \cdot \pi \cdot x}{2} \right) \left(\frac{2}{n \cdot \pi} \cdot \sin \frac{n \cdot \pi \cdot x}{2} \cdot \sin \frac{n \cdot \pi \cdot x}{2} \right) = \frac{1}{2} \cdot \left(-\sin(-n \cdot \pi) \right) + \frac{3}{n \cdot \pi} \cdot \sin n \cdot \pi = 0$$

$$b_{n} : \frac{1}{2} \cdot \left(\frac{2}{n \cdot \pi} \cdot \cos \frac{n \cdot \pi \cdot x}{2} dx + \frac{2}{3} \cdot \sin \frac{n \cdot \pi \cdot x}{2} dx \right) : \frac{1}{2} \cdot \left(\frac{2}{n \cdot \pi} \cdot \cos \frac{n \cdot \pi \cdot x}{2} dx + \frac{2}{3} \cdot \sin \frac{n \cdot \pi \cdot x}{2} dx \right) : \frac{1}{2} \cdot \left(\frac{2}{n \cdot \pi} \cdot \cos \frac{n \cdot \pi \cdot x}{2} \right) \left(\frac{2}{n \cdot \pi} \cdot \cos \frac{n \cdot \pi \cdot x}{2} \right) = \frac{1}{2} \cdot \left(\frac{2}{n \cdot \pi} \cdot \cos \frac{n \cdot \pi \cdot x}{2} \right) \cdot \left(\cos (n \cdot \pi) \cdot 1 \right) : \frac{1}{2} \cdot \left(\frac{1}{n \cdot \pi} \cdot \cos (n \cdot \pi) \cdot 1 \right) : \frac{1}{n \cdot \pi} \cdot \left(\frac{1}{n \cdot \pi} \cdot \cos \frac{n \cdot \pi \cdot x}{2} \right) = \frac{5}{2} + \sum_{n=1}^{\infty} \frac{2}{n \cdot \pi} \cdot \sin \frac{(2k-1)\pi \cdot x}{2}$$

$$f(x) = \frac{5}{2} + \sum_{n=1}^{\infty} b_{n} \cdot \sin \frac{n \cdot \pi \cdot x}{2} = \frac{5}{2} + \sum_{n=1}^{\infty} \frac{2}{n \cdot \pi} \cdot \sin \frac{(2k-1)\pi \cdot x}{2} = \frac{5}{2} \cdot \frac{2}{n \cdot \pi} \cdot \sin \frac{(2k-1)\pi \cdot x}{2} = \frac{1}{2} \cdot \frac{1}{2} \cdot \cos \frac{(2k-1)\pi \cdot x}{2} = \frac{1}{2} \cdot \frac{1}{2} \cdot \cos \frac{(2k-1)\pi \cdot x}{2} = \frac{1}{2} \cdot \frac{1}{2} \cdot \cos \frac{(2k-1)\pi \cdot x}{2} = \frac{1}{2} \cdot \frac{1}{2} \cdot \cos \frac{(2k-1)\pi \cdot x}{2} = \frac{1}{2} \cdot \frac{1}{2} \cdot \cos \frac{(2k-1)\pi \cdot x}{2} = \frac{1}{2} \cdot \frac{1}{2} \cdot \cos \frac{(2k-1)\pi \cdot x}{2} = \frac{1}{2} \cdot \frac{1}{2} \cdot \cos \frac{(2k-1)\pi \cdot x}{2} = \frac{1}{2} \cdot \frac{1}{2} \cdot \cos \frac{(2k-1)\pi \cdot x}{2} = \frac{1}{2} \cdot \frac{1}{2} \cdot \cos \frac{(2k-1)\pi \cdot x}{2} = \frac{1}{2} \cdot \frac{1}{2} \cdot \cos \frac{(2k-1)\pi \cdot x}{2} = \frac{1}{2} \cdot \frac{1}{2} \cdot \cos \frac{(2k-1)\pi \cdot x}{2} = \frac{1}{2} \cdot \frac{1}{2} \cdot \cos \frac{(2k-1)\pi \cdot x}{2} = \frac{1}{2} \cdot \frac{1}{2} \cdot \cos \frac{(2k-1)\pi \cdot x}{2} = \frac{1}{2} \cdot \frac{1}{2} \cdot \cos \frac{(2k-1)\pi \cdot x}{2} = \frac{1}{2} \cdot \frac{1}{2} \cdot \cos \frac{(2k-1)\pi \cdot x}{2} = \frac{1}{2} \cdot \cos \frac{(2k-1)\pi \cdot$$

График суммы полученного ряда представлен на рисунке 1.3.

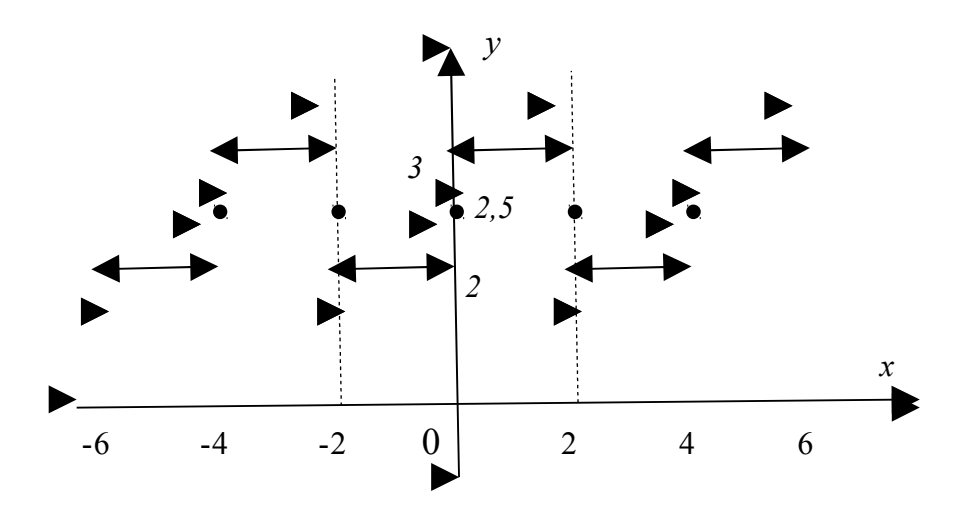


Рисунок 1.3 - График суммы полученного ряда

При разложении в неполные ряды Фурье на отрезках [0;l] поступают следующим образом.

Пусть f(x) удовлетворяет условиям Дирихле на [0;l]; l>0.

Такую функцию можно разложить в неполные ряды Фурье по косинусам или по синусам. Для этого, в первом случае, ее достраивают на отрезке [-1;0] четным способом, а во втором случае — нечетным способом, и применяют формулы (1.11), (1.12). Примеры продолжения функции представлены на рисунке 1.4.

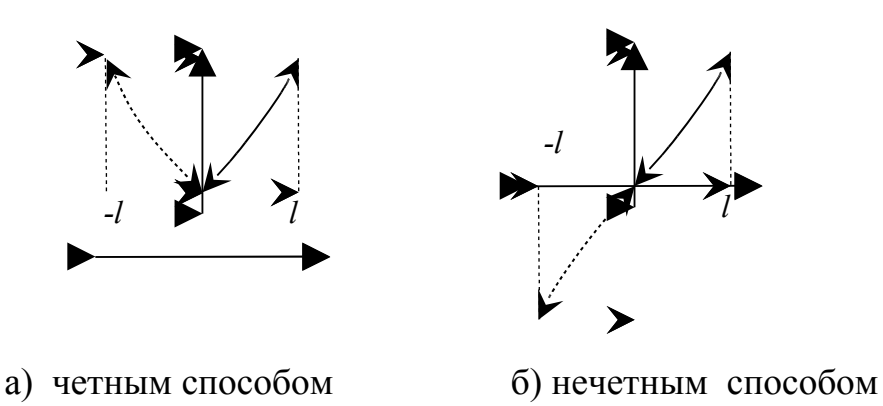


Рисунок 1.4 - Примеры продолжения функции f(x)

1.6 Разложение в ряд Фурье на произвольном отрезке

Произвольному отрезку [a;b] соответствует ортогональная система функций

$$\left\{1,\sin\frac{\pi x}{l},\cos\frac{\pi x}{l},...,\sin\frac{n\pi x}{l},\cos\frac{n\pi x}{l},...\right\},\,$$

где b = a + 2l, то есть $l = \frac{b-a}{2}$. Пример представлен на рисунке 1.5.

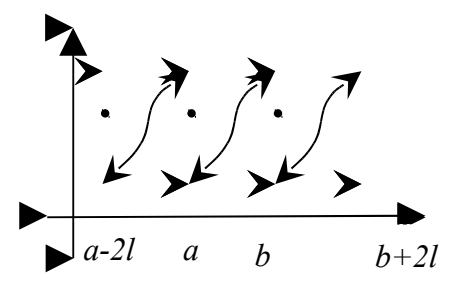


Рисунок 1.5 – Сумма ряда Фурье функции, заданной на отрезке [a;b]

$$f(x) = \frac{a_0}{2} + \sum_{n=1}^{\infty} \left(a_n \cdot \cos \frac{n\pi x}{l} + b_n \cdot \sin \frac{n\pi x}{l} \right), \tag{1.13}$$

где

$$a_0 = \frac{1}{l} \cdot \int_a^b f(x) dx$$

$$a_n = \frac{1}{l} \cdot \int_a^b f(x) \cdot \cos \frac{n\pi x}{l} dx$$

$$b_n = \frac{1}{l} \cdot \int_a^b f(x) \cdot \sin \frac{n\pi x}{l} dx$$

1.7 Комплексная запись ряда Фурье

Пусть функция f(x) удовлетворяет достаточным условиям разложимости в ряд Фурье. Тогда на отрезке $[-\pi;\pi]$ ее можно представить рядом вида:

$$f(x) = \frac{a_0}{2} + \sum_{n=1}^{\infty} (a_n \cdot \cos(n \cdot x) + b_n \cdot \sin(n \cdot x))$$
 (1.14)

Используя формулы Эйлера

$$e^{inx} = \cos(n \cdot x) + i \cdot \sin(n \cdot x), \quad e^{-inx} = \cos(n \cdot x) - i \cdot \sin(n \cdot x),$$

найдем $\cos(n \cdot x) = \frac{e^{inx} + e^{-inx}}{2}$ и $\sin(n \cdot x) = \frac{e^{inx} - e^{-inx}}{2 \cdot i} = i \cdot \frac{e^{-inx} - e^{inx}}{2}$. Подставляя эти

выражения в ряд (2.1), получаем

$$f(x) = \frac{a_0}{2} + \sum_{n=1}^{\infty} \left(a_n \cdot \frac{e^{inx} + e^{-inx}}{2} + i \cdot b_n \cdot \frac{e^{-inx} - e^{inx}}{2} \right) =$$

$$= \frac{a_0}{2} + \sum_{n=1}^{\infty} \left(\frac{a_n - i \cdot b_n}{2} \cdot e^{inx} + \frac{a_n + i \cdot b_n}{2} \cdot e^{-inx} \right)$$
(1.15)

Введем следующие обозначения: $\frac{a_0}{2} = c_0$, $\frac{a_n - i \cdot b_n}{2} = c_n$, $\frac{a_n + i \cdot b_n}{2} = c_{-n}$

Ряд (2.2) принимает вид:

$$f(x) = c_0 + \sum_{n=1}^{\infty} (c_n \cdot e^{inx} + c_{-n} \cdot e^{-inx}) = c_0 + \sum_{n=1}^{\infty} c_n \cdot e^{inx} + \sum_{n=1}^{\infty} c_{-n} \cdot e^{-inx} = c_0 + \sum_{n=1}^{\infty} c_n \cdot e^{inx} + \sum_{n=1}^{\infty} c_n \cdot e^{inx} = \sum_{n=-\infty}^{+\infty} c_n \cdot e^{inx}$$

Таким образом, ряд Фурье представлен в комплексной форме:

$$f(x) = \sum_{n = -\infty}^{+\infty} c_n \cdot e^{inx}$$
 (1.16)

Найдем выражения коэффициентов c_n и c_{-n} через интегралы:

$$c_n = \frac{a_n - i \cdot b_n}{2} = \frac{1}{2 \cdot \pi} \cdot \left(\int_{-\pi}^{\pi} f(x) \cdot \cos(n \cdot x) \cdot dx - i \cdot \int_{-\pi}^{\pi} f(x) \cdot \sin(n \cdot x) \cdot dx \right) =$$

$$= \frac{1}{2 \cdot \pi} \cdot \int_{-\pi}^{\pi} f(x) \cdot (\cos(n \cdot x) - i \cdot \sin(n \cdot x)) \cdot dx = \frac{1}{2 \cdot \pi} \cdot \int_{-\pi}^{\pi} f(x) \cdot e^{-inx} \cdot dx$$

Аналогично $c_{-n} = \frac{1}{2 \cdot \pi} \cdot \int_{-\pi}^{\pi} f(x) \cdot e^{inx} \cdot dx$

Таким образом, комплексные коэффициенты Фурье вычисляются по формуле:

$$c_n = \frac{1}{2 \cdot \pi} \cdot \int_{-\pi}^{\pi} f(x) \cdot e^{-inx} \cdot dx, \quad n = 0, \pm 1, \pm 2, \dots$$
 (1.17)

Для периодической функции f(x) с периодом $2 \cdot l$ комплексная форма ряда Фурье примет вид:

$$f(x) = \sum_{n = -\infty}^{+\infty} c_n \cdot e^{i \cdot \frac{n \cdot \pi \cdot x}{l}}$$
 (1.18)

где коэффициенты c_n вычисляются по формулам:

$$c_n = \frac{1}{2 \cdot l} \cdot \int_{-l}^{l} f(x) \cdot e^{-i \cdot \frac{n \cdot \pi \cdot x}{l}} dx, \quad n = 0, \pm 1, \pm 2, \dots$$

Замечание:

сходимость рядов (1.16) и (1.18) понимается так: ряды являются сходящимися для

данного значения \mathcal{X} , если существуют пределы: $\lim_{n\to\infty}\sum_{k=-n}^n c_k\cdot e^{ikx}$ и $\lim_{n\to\infty}\sum_{k=-n}^n c_k\cdot e^{i\cdot\frac{k\cdot\pi\cdot x}{l}}$.

Последовательность $\{c_n\}$ коэффициентов разложения (1.16) или (1.18) называется спектральной последовательностью функции f(x), так как с помощью членов этой последовательности получаются характеристики всех гармоник, на которые разложено соответствующее периодическое колебание: возьмем сумму двух членов разложения (1.16) с противоположными номерами:

$$c_{-n} \cdot e^{-inx} + c_n \cdot e^{inx} = \frac{a_n + i \cdot b_n}{2} \cdot (\cos(n \cdot x) - i \cdot \sin(n \cdot x)) +$$

$$+ \frac{a_n - i \cdot b_n}{2} \cdot (\cos(n \cdot x) + i \cdot \sin(n \cdot x)) = a_n \cdot \cos(n \cdot x) + b_n \cdot \sin(n \cdot x)$$

Сумма таких двух членов воспроизводит n - ю гармонику. Выразим характеристики n - ой гармоники через коэффициенты разложения (1.16):

$$a_n = \delta_n \cdot \sin(\varphi_0)_n$$
, $b_n = \delta_n \cdot \cos(\varphi_0)_n$. Откуда $\delta_n = \sqrt{a_n^2 + b_n^2}$, $tg(\varphi_0)_n = \frac{a_n}{b_n}$.
$$a_n \cdot \cos(n \cdot x) + b_n \cdot \sin(n \cdot x) = \delta_n \cdot \sin(n \cdot x + (\varphi_0)_n).$$

где δ_n - амплитуда гармоники, n - частота, $(\varphi_0)_n$ - начальная фаза.

Следовательно, амплитуда δ_n равна модулю $|c_n|$ = $|a_n - i \cdot b_n|$ = $\sqrt{a_n^2 + b_n^2}$.

Если рассмотреть угол $(\psi_0)_n = \frac{\pi}{2} - (\phi_0)_n$, то $tg((\psi_0)_n) = ctg((\phi_0)_n) = \frac{b_n}{a_n}$. Следовательно

$$\arg \overline{c}_n = arctg \frac{b_n}{a_n} = (\psi_0)_n$$
, где $\overline{c}_n = a_n + i \cdot b_n$. Таким образом, последовательность $\{|c_n|\}$

образует амплитудный спектр функции f(x), а последовательность $\left|\arg \overline{c}_{\eta}\right|$ образует фазовый спектр.

1.8 Указания к решению задач по теме «Тригонометрические ряды» в системе MathCAD

Перед началом исследования следует выбрать в панели математических инструментов кнопки «Арифметические инструменты», «Операторы математического анализа», «Символические операторы», «Символы греческого алфавита» открыть соответствующие панели и разместить их в удобном месте на рабочем столе (см. рисунок 1.6).

Для определения функции, заданной разными аналитическими выражениями на различных промежутках числовой оси, - ввести имя функции f переменной x, щелкнуть в панели калькулятора по кнопке «Присвоить значение» в панели «Арифметические инструменты» или ввести с клавиатуры знак двоеточия, выбрать в панели «Программирование» кнопку «Add Line».

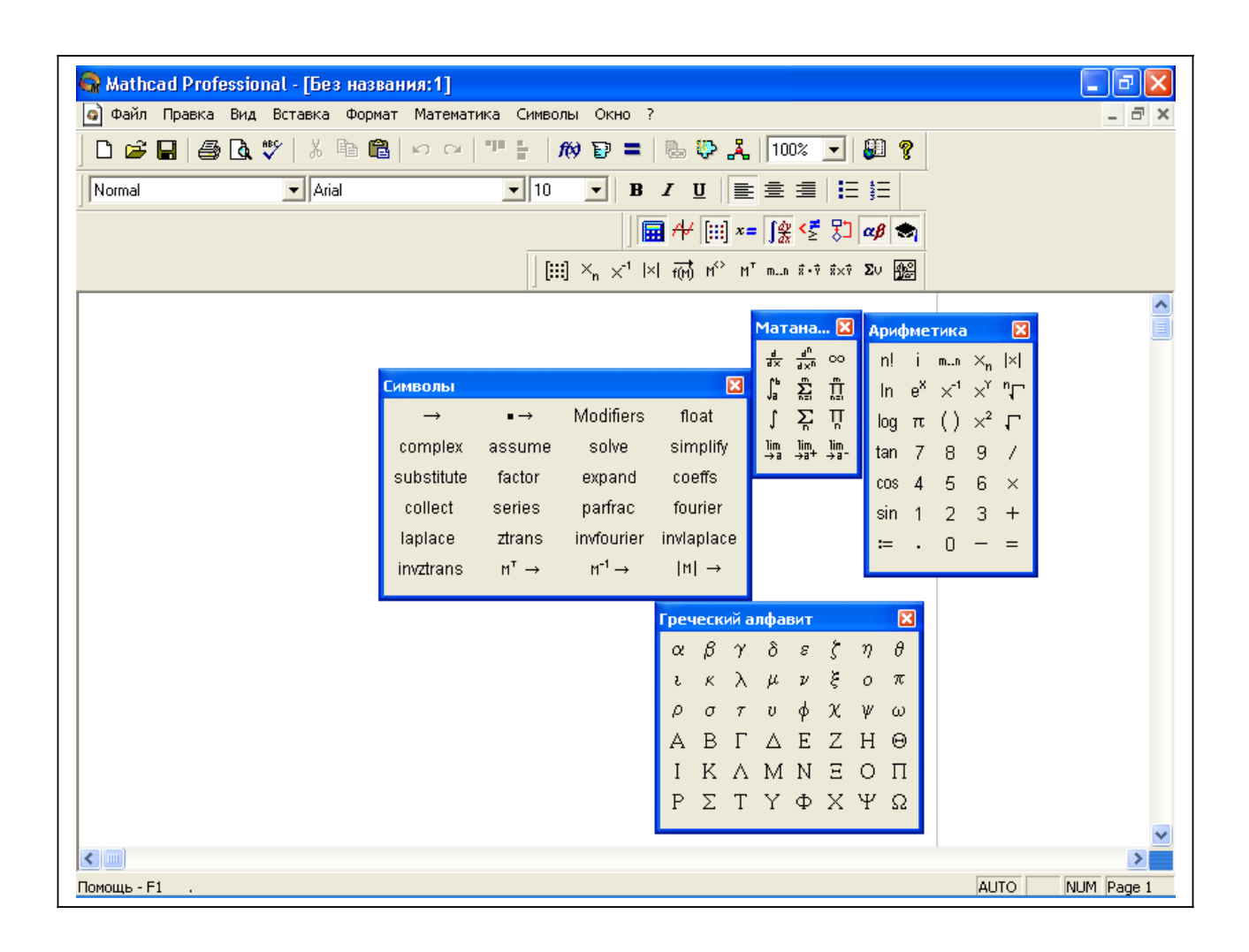


Рисунок 1.6 – Рабочий лист MathCAD

В рабочем документе справа от знака присваивания появится вертикальная черта с двумя строками ввода (если в дальнейшем вам понадобиться более двух строк ввода, то можно добавить их, нажав дополнительно кнопку «Add Line»). Выбрать первую строку и щелкнуть по кнопке «if», ввести слева от «if» выражение, а справа — ограничение на аргумент. Аналогично следует поступить для второй строки.

Далее следует ввести выражения для коэффициентов Фурье в виде векторов a и b, для чего определить размерность вектора n, определить k - диапазон изменения номера компонент векторов a и b от 0 до n, определить выражения для коэффициентов Фурье a_k - ввести с клавиатуры символ «a», знак нижнего индекса - «[» (или выбрать соответствующей кнопкой в панели «Арифметика»), ввести в позиции нижнего индекса «k», вернуться в основную строку, ввести знак присваивания и выражение для коэффициента. Аналогично - для b_k .

Частичную сумму ряда следует определить как функцию двух переменных $S(x,n)_{\perp}$

Для построения графиков частичных сумм необходимо задать диапазон значений аргумента x на отрезке $[-\pi;\pi]$ с некоторым шагом (в нашем примере шаг равен $\frac{\pi}{100}$), для чего используйте кнопку «Задать диапазон дискретной величины» в панели «Арифметические инструменты».

Вставка графика в рабочий лист осуществляется кнопкой «Декартов график» (Shift+2) в панели «Графики», для ввода нескольких функций они определяются через запятую.

Численное исследование частичных сумм состоит в сравнении значений частичных сумм для различных n со значениями функции на концах отрезка, в точке разрыва и в точке непрерывности.

Введя имя частичной суммы S, в скобках значения аргументов, и нажав клавишу «=», получим на экране значение в точке.

1.9 Примеры решения задач

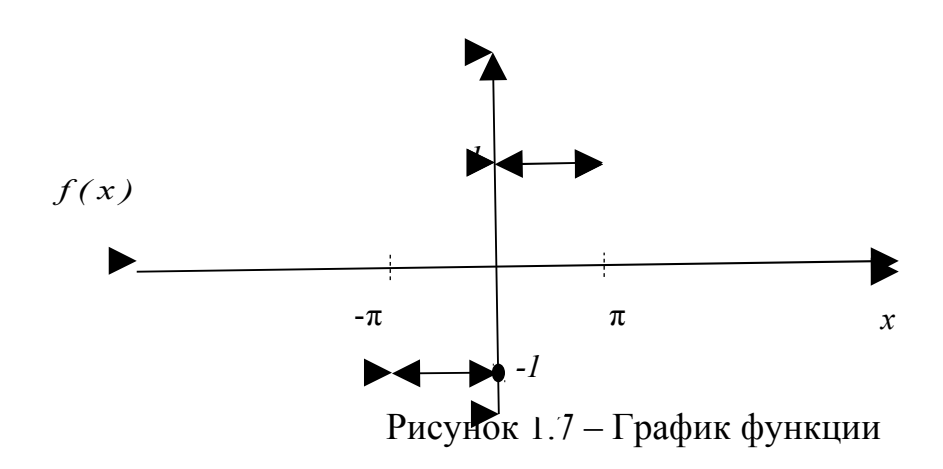
Задача 1

Функцию
$$f(x) = \begin{cases} -1, & npu - \pi < x \le 0 \\ 1, & npu & 0 < x < \pi \end{cases}$$

разложить в ряд Фурье в интервале $(-\pi;\pi)$, определить сумму ряда в точках разрыва и на концах интервала, графически исследовать сходимость частичных сумм полученного ряда.

Решение

Функция $f(x) = \begin{cases} -1 & npu - \pi < x < 0 \\ 1 & npu & 0 < x < \pi \end{cases}$ является нечетной, поэтому используем формулы для разложения в неполный ряд Фурье. График функции представлен на рисунке 1.7.



$$b_k = \frac{2}{\pi} \cdot \int_0^{\pi} f(x) \cdot \sin(k \cdot x) dx = \frac{2}{\pi} \cdot \int_0^{\pi} 1 \cdot \sin(k \cdot x) dx = \frac{2}{\pi} \cdot \left(\frac{-\cos(k \cdot \pi)}{k} + \frac{1}{k} \right) = \begin{cases} \frac{0}{4} & npu \\ \frac{1}{k \cdot \pi} & npu \end{cases}$$

$$k = 2 \cdot l = \begin{cases} \frac{0}{4} & npu \quad k = 2 \cdot l \\ \frac{1}{\pi \cdot (2 \cdot l - 1)} & npu \quad k = 2 \cdot l - 1 \end{cases}$$

$$S(x) = \sum_{k=1}^{\infty} b_k \cdot \sin(k \cdot x) = \sum_{l=1}^{\infty} \frac{4}{(2 \cdot l - 1) \cdot \pi} \cdot \sin((2 \cdot l - 1) \cdot x) = \frac{4}{\pi} \cdot \sum_{l=1}^{\infty} \frac{\sin((2 \cdot l - 1) \cdot x)}{2 \cdot l - 1} = \frac{4}{\pi} \cdot \left(\sin x + \frac{1}{3} \cdot \sin 3x + \frac{1}{5} \cdot \sin 5x + \dots \right)$$

Таким образом, аналитически получили разложение данной функции в ряд Фурье: $\frac{4}{\pi} \cdot \left(\sin x + \frac{1}{3} \cdot \sin 3x + \frac{1}{5} \cdot \sin 5x + ... \right)$.

В случае если аналитически вычислить коэффициенты ряда Фурье сложно, следует использовать символьные вычисления в MathCad.

Поскольку сходимость ряда Фурье характеризуется законом среднего арифметического, в точке разрыва $x_0 = 0$ ряд Фурье данной функции будет

сходиться к $\frac{1}{2} \cdot (\lim_{x \to 0^{-}0} f(x) + \lim_{x \to 0^{+}0} f(x)) = 0$; в точках $x = -\pi$; $x = \pi$ ряд Фурье будет сходиться к $\frac{1}{2} \cdot (\lim_{x \to -\pi} f(x) + \lim_{x \to \pi} f(x)) = 0$

Сумма ряда Фурье определена на всей числовой оси и является периодической функцией с периодом 2π :

$$S(x) = \begin{cases} 0, & npu & x = -\pi + 2\pi \cdot m \\ -1, & npu & -\pi + 2\pi \cdot m < x < 0 + 2\pi \cdot m \\ 0, & npu & x = 0 + 2\pi \cdot m \end{cases}, \quad m \in N$$

$$1, \quad npu \quad 0 + 2\pi \cdot m < x < \pi + 2\pi \cdot m$$

График полученной суммы ряда представлен на рисунке 1.8.

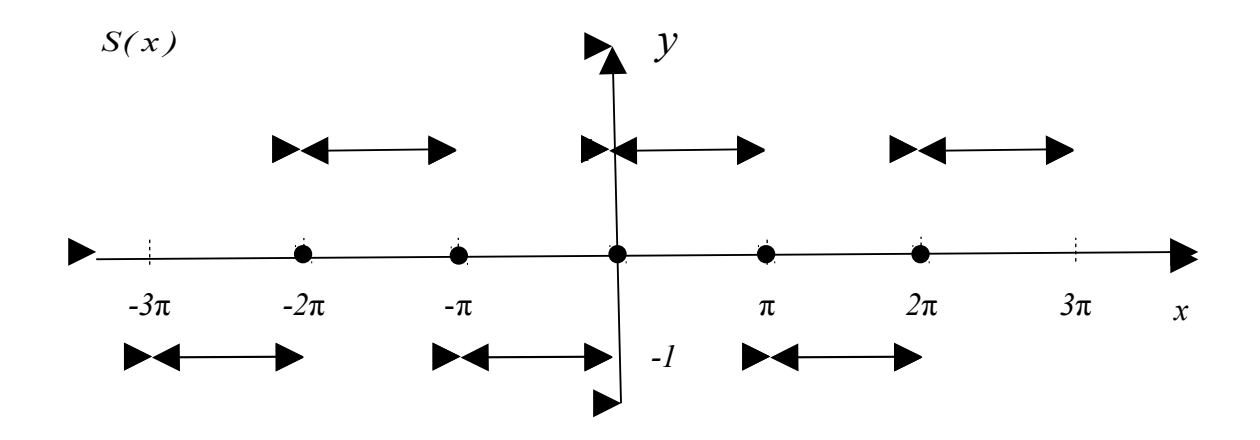


Рисунок 1.8 – График суммы ряда

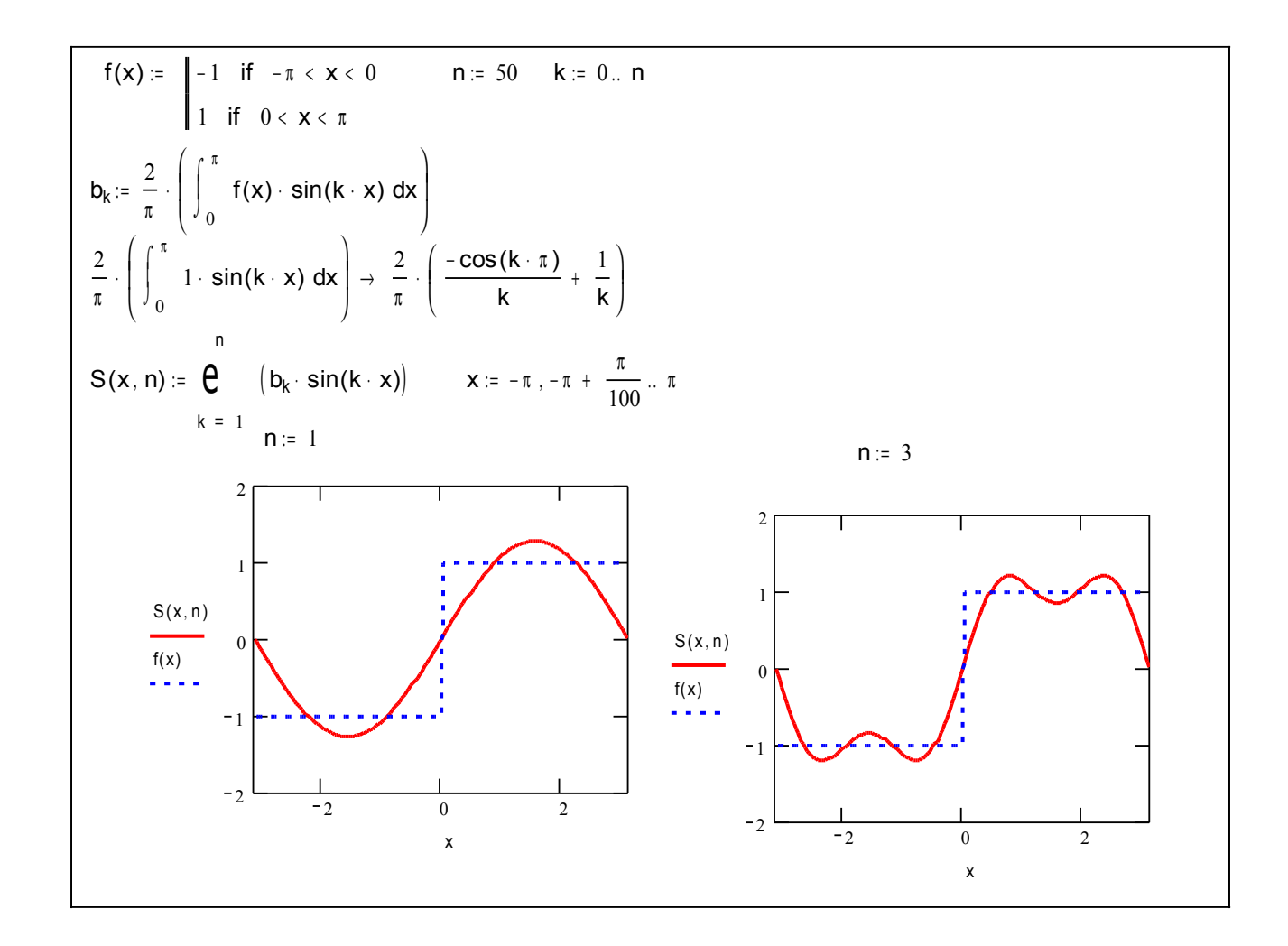
Используя MathCad, исследуем графически поведение частичных сумм полученного ряда Фурье. (См. ниже листинг 1.1 рабочего документа MathCad).

График на листинге 1.2 иллюстрирует сходимость частичных сумм ряда Фурье в точке непрерывности функции.

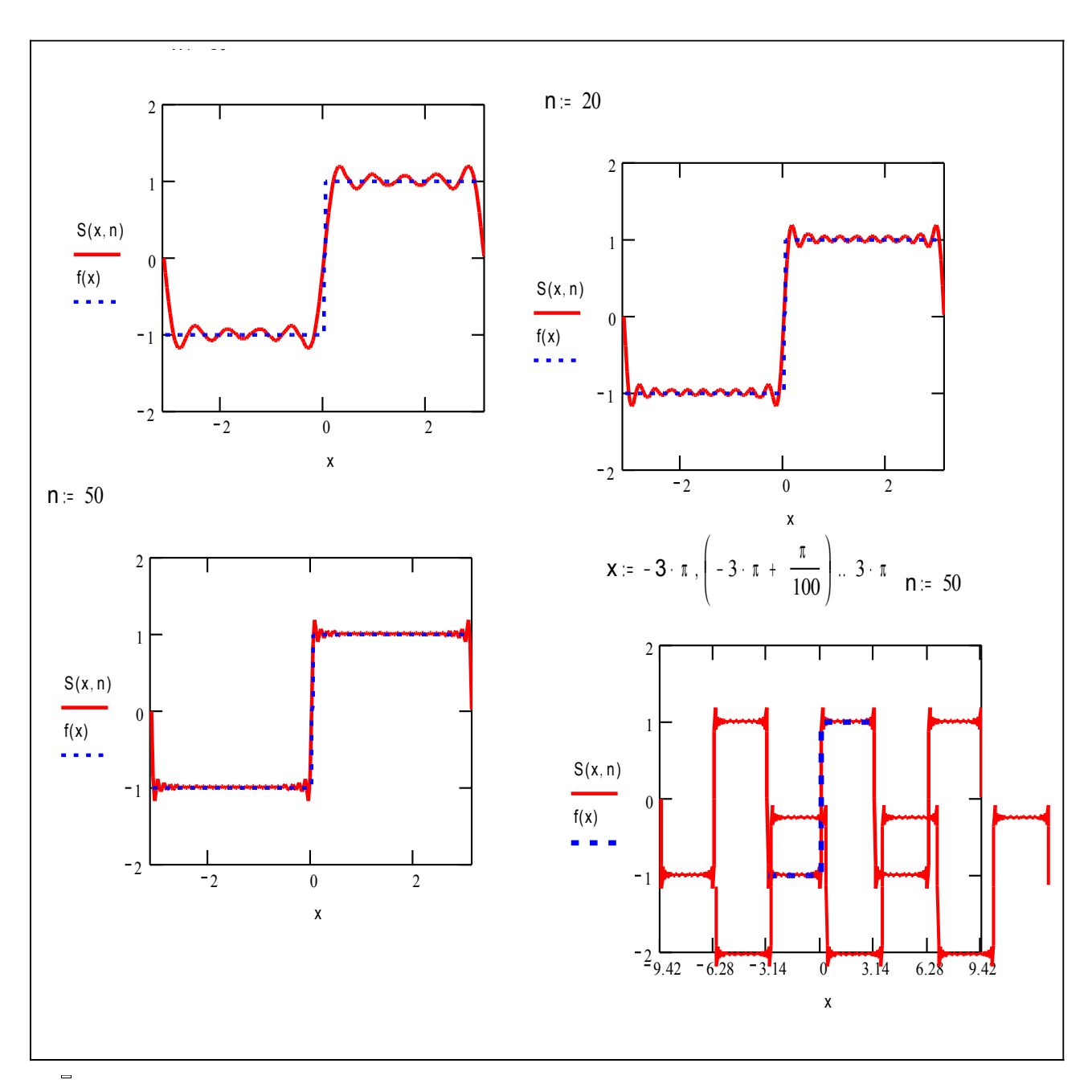
На графиках видно, что при приближении к точкам разрыва x_0 разность $|S_n(x)-f(x)|$ увеличивается. Это объясняется тем, что, хотя $\lim_{n\to\infty}S_n(x_0)=S(x_0)=\frac{1}{2}\cdot(\lim_{x\to x_0=0}f(x)+\lim_{x\to x_0+0}f(x))$, существуют такие последовательности $u_n\to x_0+0$ и $v_n\to x_0-0$, что пределы $S_n(u_n)$ и $S_n(v_n)$ при $n\to\infty$ различны и оба отличаются от $S(x_0)$.

Эта особенность поведения частичных сумм Фурье в окрестности точек разрыва называется явлением Гиббса. Явление Гиббса состоит в том, что для некоторых функций f(x) в точке x_0 их скачка существуют такие значения a, что

$$\lim_{n\to\infty} S_n(x_0 \pm \frac{a}{n}) \neq S(x_0).$$



Листинг 1.1 Лист 1



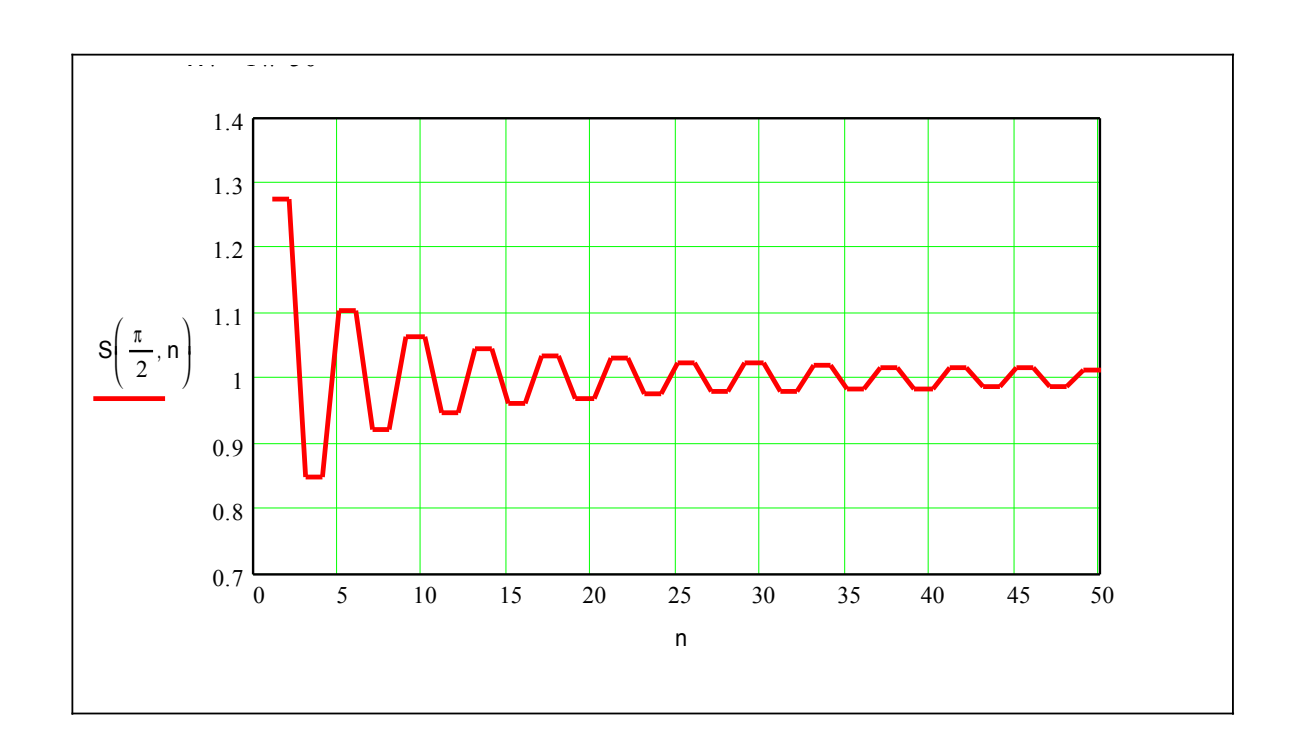
Вычислим значения частичных сумм ряда Фурье для n=10,20,50 в точ ках x=- $_\pi$, x=0, x= $_\pi$ /2, x= $_\pi$.

$$S(-\pi, 10) = 0.000 \qquad S(0, 10) = 0.000 \qquad S\left(\frac{\pi}{2}, 10\right) = 1.063 \qquad S(\pi, 10) = 0.000$$

$$S(-\pi, 20) = -1.896 \times 10^{-15} \qquad S(0, 20) = 0.000 \qquad S\left(\frac{\pi}{2}, 20\right) = 0.968 \qquad S(\pi, 20) = 1.896 \times 10^{-15}$$

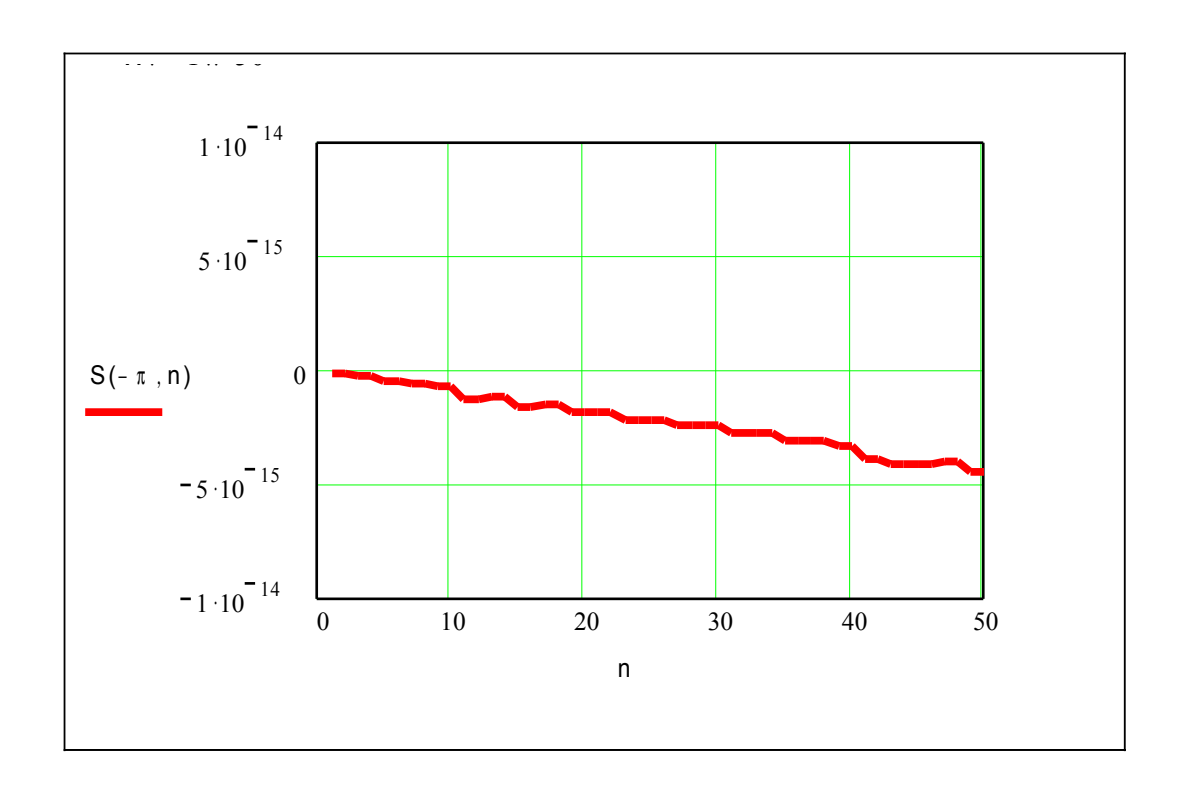
$$S(-\pi, 50) = -4.502 \times 10^{-15} \qquad S(0, 50) = 0.000 \qquad S\left(\frac{\pi}{2}, 50\right) = 1.013 \qquad S(\pi, 50) = 4.502 \times 10^{-15}$$

Листинг 1.1 Лист 2



Листинг 1.2

Исследуем поведение частичных сумм построенного ряда Фурье в точке $x_0 = -\pi$ (см. листинг 1.3).



Листинг 1.3

Задача 2

Для функции $f(x) = |\sin(x+1)|$, заданной в интервале $(-\pi;\pi)$, найти тригонометрический многочлен наилучшего приближения наименьшей степени со среднеквадратическим отклонением, меньшим 0.01. Построить график зависимости среднеквадратического отклонения от степени многочлена.

Решение

Последовательность решения:

- 1. Вычисляются коэффициенты Эйлера-Фурье a_k , b_k .
- 2. Вычисляются частичные суммы ряда Фурье S(x, n).
- 3. Вычисляется среднеквадратическое отклонение $\sigma(n)$.
- 4. Создается вектор P, элементы которого равны соответствующим значениям среднеквадратического отклонения $P_k = \sigma(k)$.
- 5. Анализ элементов вектора P и графика зависимости $\sigma = \sigma(k)$ позволяет определить наименьшее количество слагаемых тригонометрического многочлена, удовлетворяющего заданной точности.

Otbet: n = 20.

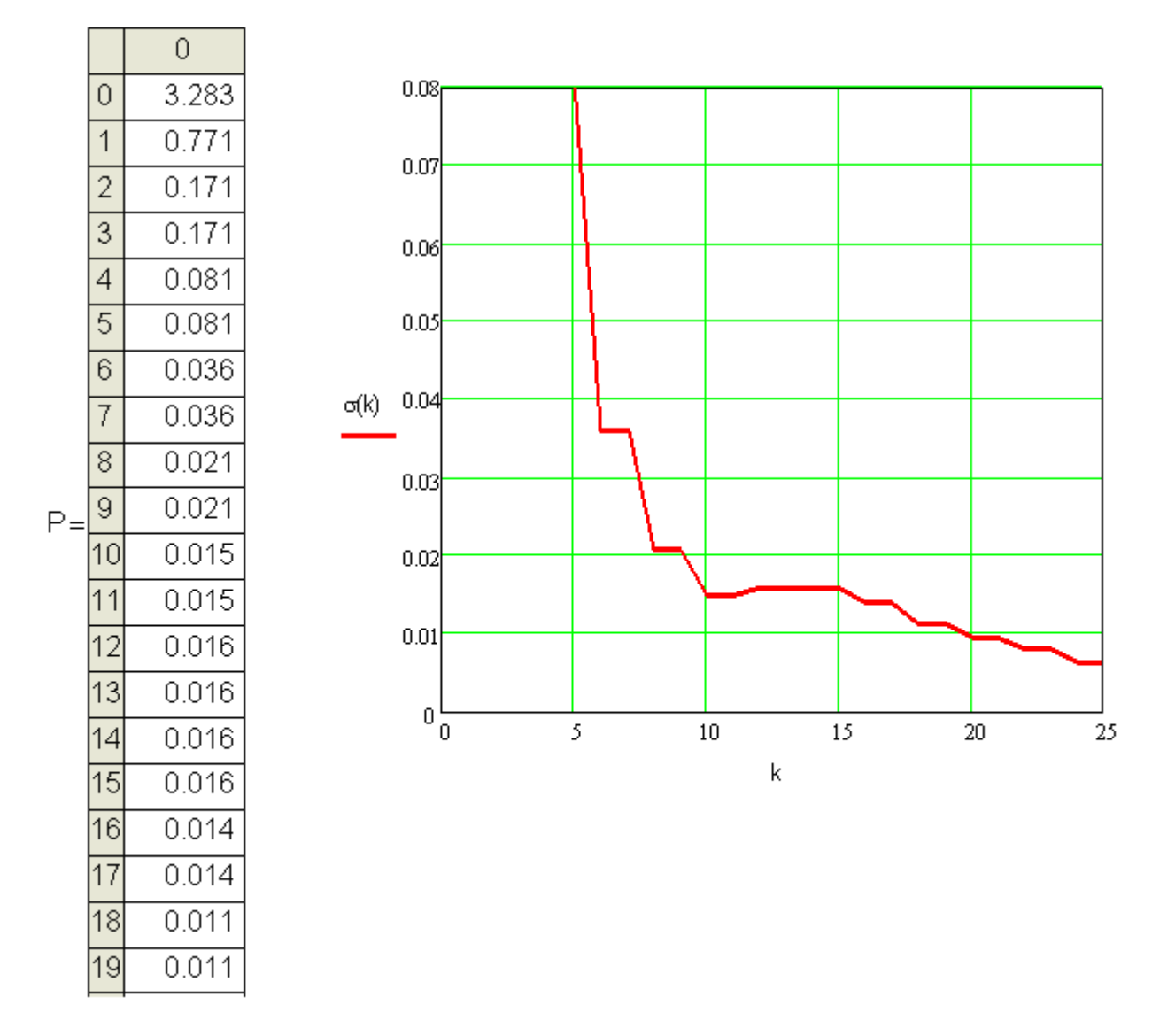
Ниже приведен листинг 1.4 рабочего документа MathCad.

$$f(x) := |sin(x+1)|$$
 $n := 50$ $k := 0... n$

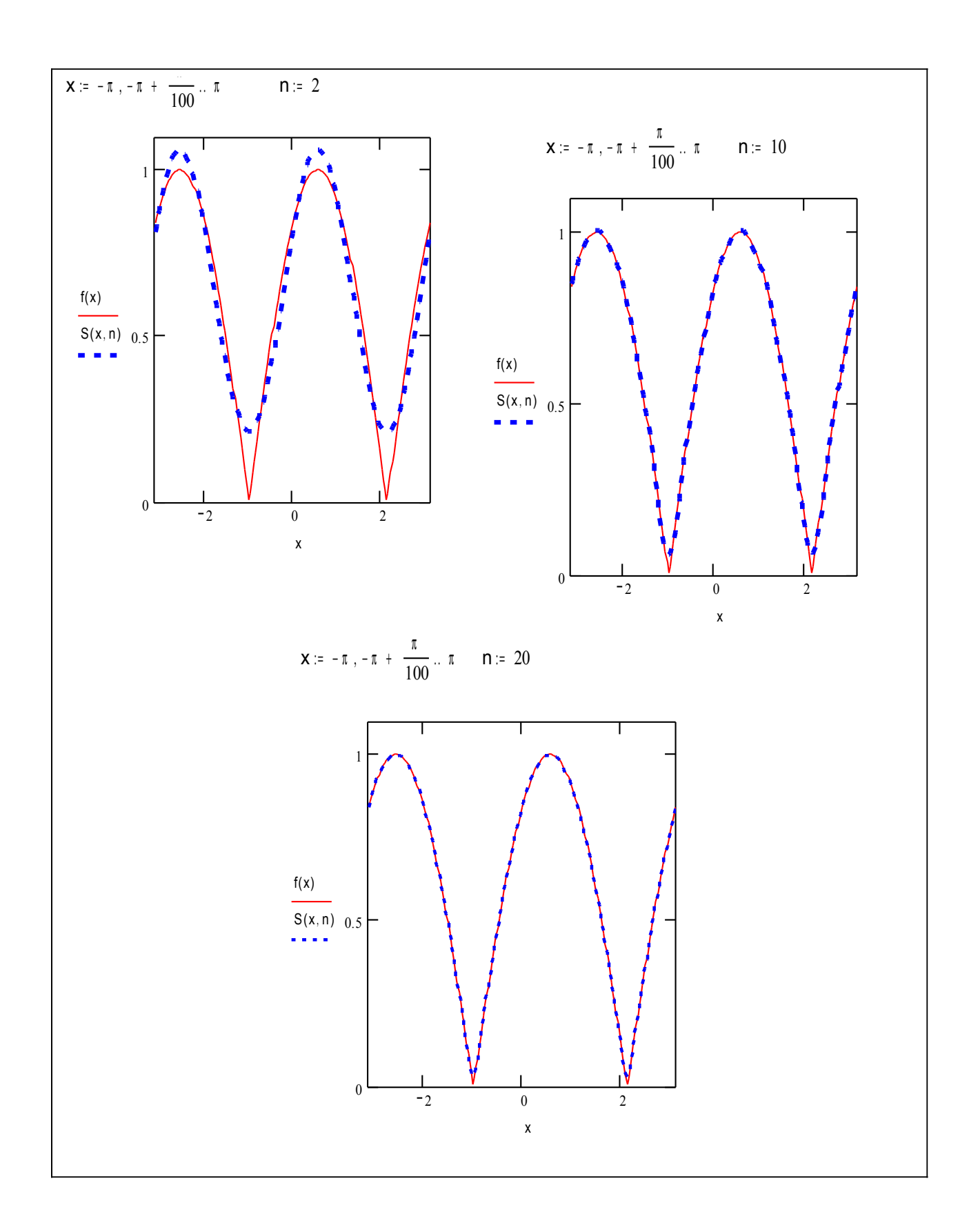
$$a_k := \frac{1}{\pi} \cdot \int_{-\pi}^{\pi} f(x) \cdot \cos(k \cdot x) dx \qquad b_k := \frac{1}{\pi} \cdot \int_{-\pi}^{\pi} f(x) \cdot \sin(k \cdot x) dx$$

$$S(x,n) := \frac{a_0}{2} + \sum_{k=1}^{n} \left(a_k \cdot \cos(k \cdot x) + b_k \cdot \sin(k \cdot x) \right) o(n) := \sqrt{\int_{-\pi}^{\pi} \left(f(x) - S(x,n) \right)^2 dx}$$

$$k:=0...n$$
 $P_k:=\sigma(k)$



Листинг 1.4 Лист 1



Листинг 1.4 Лист 2

Задача 3

Разложить в интервале (2;6) в неполный ряды Фурье по синусам кратных

ДУГ фУНКЦИЮ
$$f(x) = \begin{cases} -x^2 + 8 \cdot x - 12 & npu \ 2 < x < 4 \\ 8 \cdot x - 12 & npu \ 4 < x < 6 \end{cases}$$

Построить график самой функции и частичных сумм ряда Фурье при n = 1, 2, 5, 10, 20 (также и вне интервала (2;6)). При n = 20 вычислить $S_n(3)$, $S_n(4)$ и $S_n(5)$.

Решение

Приведен листинг 1.5 рабочего документа MathCad.

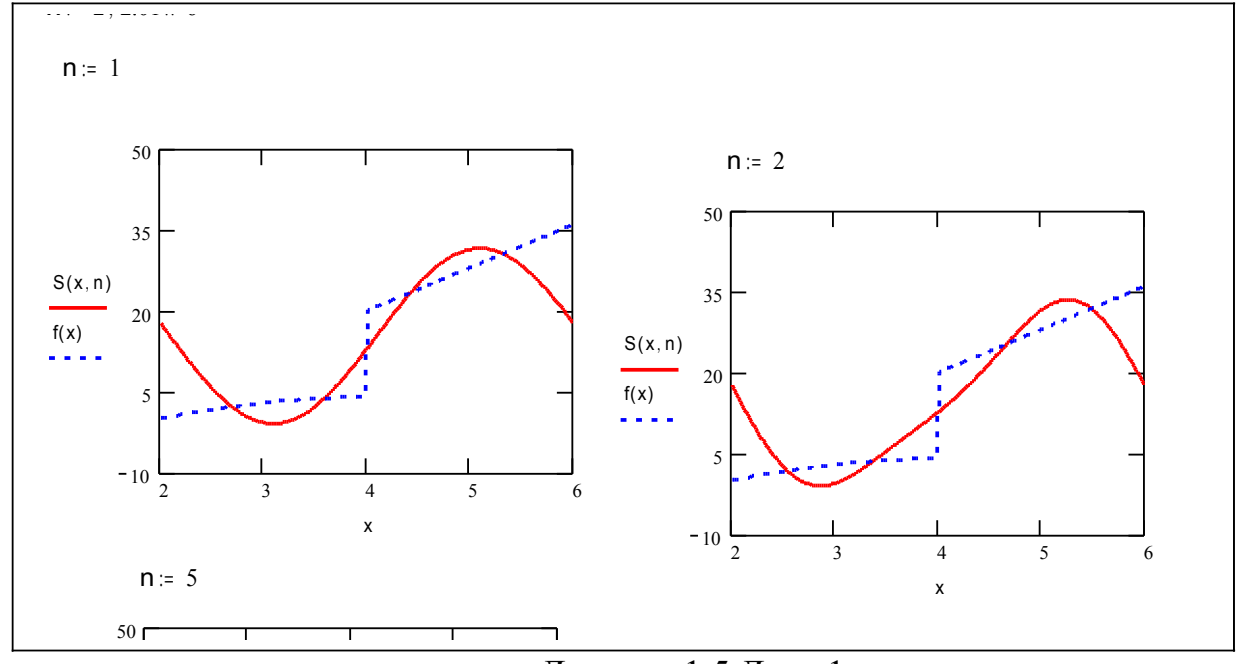
$$f(x) := \frac{1}{2} - x^{2} + 8 \cdot x - 12 \quad \text{if} \quad 2 < x < 4$$

$$8 \cdot x - 12 \quad \text{if} \quad 4 < x < 6$$

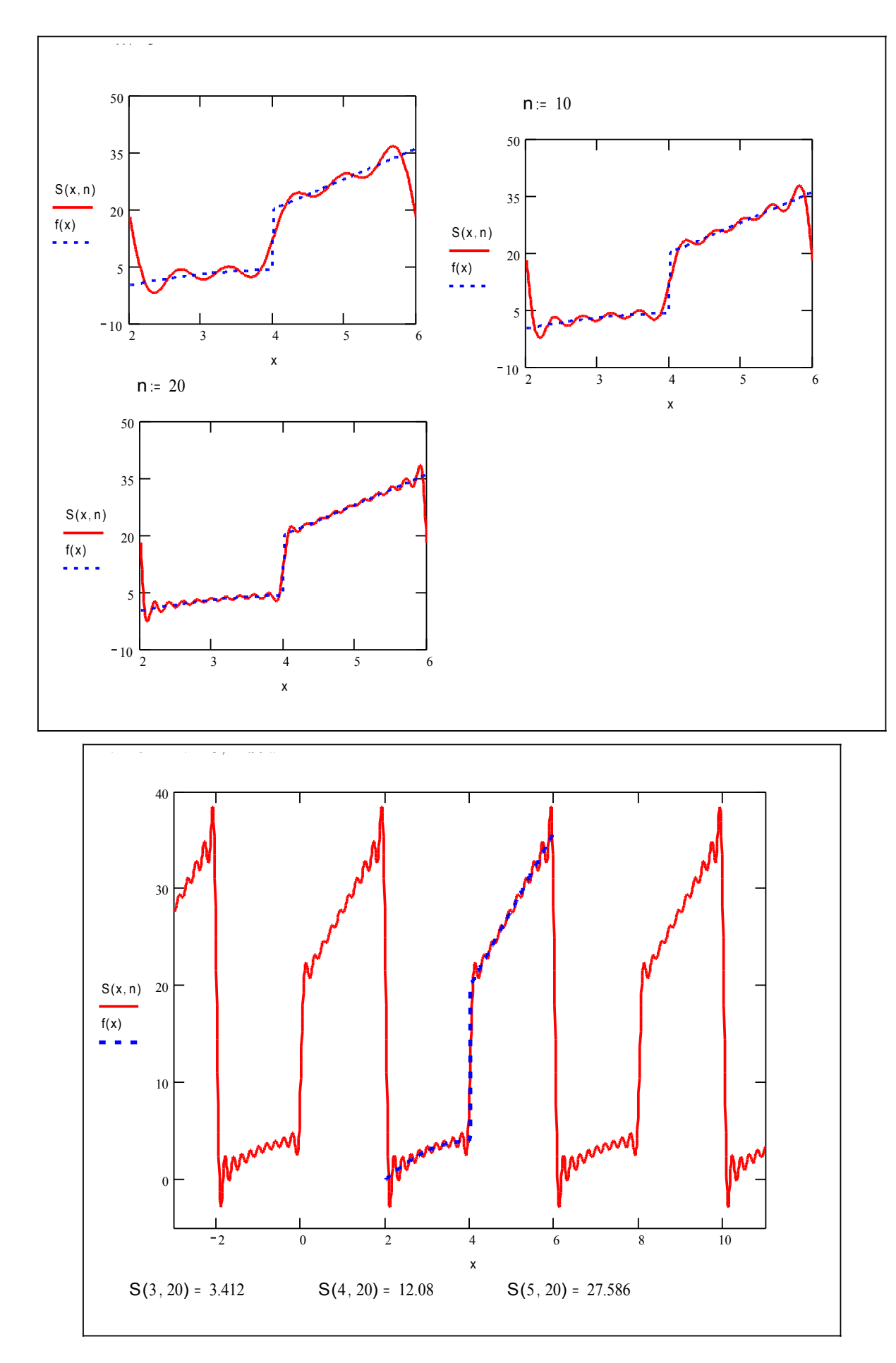
$$n := 50 \qquad \qquad k := 0 ... \quad n$$

$$a_{k} := \frac{1}{1} \cdot \int_{2}^{6} f(x) \cdot \cos\left(\frac{k \cdot \pi \cdot x}{l}\right) dx \qquad \qquad b_{k} := \frac{1}{l} \cdot \left(\int_{2}^{6} f(x) \cdot \sin\left(\frac{k \cdot \pi \cdot x}{l}\right) dx\right)$$

$$S(x, n) := \frac{a_{0}}{2} + \underbrace{e}_{k=1}^{n} \left(a_{k} \cdot \cos\left(\frac{k \cdot \pi \cdot x}{l}\right) + b_{k} \cdot \sin\left(\frac{k \cdot \pi \cdot x}{l}\right)\right)$$



Листинг 1.5 Лист 1



Листинг 1.5 Лист 2

2 Преобразование Фурье

2.1 Интеграл Фурье

Как было показано выше, всякую функцию f(x), удовлетворяющую на отрезке – $l \le x \le l$ условиям Дирихле (раздел 1.2 данного пособия), можно разложить в ряд Фурье:

$$f(x) = \frac{a_0}{2} + \sum_{n=1}^{\infty} \left(a_n \cdot \cos \frac{n \cdot \pi \cdot x}{l} + b_n \cdot \sin \frac{n \cdot \pi \cdot x}{l} \right), \tag{2.1}$$

где
$$a_n = \frac{1}{l} \cdot \int_{-l}^{l} f(t) \cdot \cos \frac{n \cdot \pi \cdot t}{l} dt$$
, $b_n = \frac{1}{l} \cdot \int_{-l}^{l} f(t) \cdot \sin \frac{n \cdot \pi \cdot t}{l} dt$

Это разложение справедливо на всей числовой оси, если f(x) - периодическая функция с периодом $2 \cdot l$.

Рассмотрим предельный случай $l \to \infty$, т.е. случай непериодической функции f(x) , заданной на всей оси x .

Будем предполагать, что на всяком конечном отрезке оси x , функция f(x) удовлетворяет условиям Дирихле, кроме того, f(x) абсолютно интегрируема, то есть существует конечный интеграл:

$$\int_{-\infty}^{+\infty} |f(x)| dx = c \tag{2.2}$$

Замечая, что:

$$a_{n} \cdot \cos \frac{n \cdot \pi \cdot x}{l} + b_{n} \cdot \sin \frac{n \cdot \pi \cdot x}{l} = \frac{1}{l} \cdot \int_{-l}^{l} f(t) \cdot \cos \frac{n \cdot \pi \cdot t}{l} dt \cdot \cos \frac{n \cdot \pi \cdot x}{l} + \frac{1}{l} \cdot \int_{-l}^{l} f(t) \cdot \sin \frac{n \cdot \pi \cdot t}{l} dt \cdot \sin \frac{n \cdot \pi \cdot x}{l} = \frac{1}{l} \cdot \int_{-l}^{l} f(t) \cdot \cos \frac{n \cdot \pi \cdot (x - t)}{l} dt$$

Запишем разложение (2.1) в виде:

$$f(x) = \frac{1}{2 \cdot l} \cdot \int_{-l}^{l} f(t) dt + \frac{1}{l} \cdot \sum_{n=1}^{\infty} \int_{-l}^{l} f(t) \cdot \cos \frac{n \cdot \pi \cdot (x-t)}{l} dt$$
 (2.3)

Первое слагаемое полученного разложения (2.3) стремится к нулю при $l \to \infty$,

T.K.
$$\left| \frac{1}{2 \cdot l} \cdot \int_{-l}^{l} f(t) dt \right| \le \frac{1}{2 \cdot l} \cdot \int_{-l}^{l} |f(t)| dt \le \frac{1}{2 \cdot l} \cdot \int_{-\infty}^{\infty} |f(t)| dt = \frac{c}{2 \cdot l}$$

Для выяснения предела второго слагаемого при $l \to \infty$ введем новую переменную α , принимающую значения, образующие бесконечную арифметическую прогрессию: $\alpha_n = \frac{n \cdot \pi}{l}$, $n = 1, 2 \dots$

Примем без доказательства, что при $l \rightarrow \infty$

$$\sum_{n=1}^{\infty} F(\alpha_n) \cdot \Delta \alpha_n \to \int_{0}^{\infty} F(\alpha) d\alpha ,$$

где
$$F(\alpha) = \int_{-\infty}^{+\infty} f(t) \cdot \cos(\alpha \cdot (x-t)) dt$$
.

Таким образом, разложение (2.1) при $l \to \infty$ преобразуется к виду:

$$f(x) = \frac{1}{\pi} \cdot \int_{0}^{+\infty} d\alpha \cdot \int_{-\infty}^{+\infty} f(t) \cdot \cos(\alpha \cdot (x - t)) dt$$
 (2.4)

Формула (2.4) называется формулой Фурье, а интеграл в правой части формулы (2.4) называется интегралом Фурье.

Замечания:

1.зная характер сходимости ряда Фурье при конечном l , отмечаем, что если x - точка разрыва функции f(x) , то под f(x) в формуле Фурье следует понимать $\frac{f(x-0)+f(x+0)}{2}$;

2.
внутренний интеграл в формуле Фурье является четной функцией от
 $\,\alpha$,

поэтому
$$f(x) = \frac{1}{2 \cdot \pi} \cdot \int_{-\infty}^{+\infty} d\alpha \cdot \int_{-\infty}^{+\infty} f(t) \cdot \cos(\alpha \cdot (x-t)) dt$$
 (2.4`)

3.вышеперечисленные условия не являются единственными достаточными условиями представления функции интегралом Фурье, другое достаточное условие:

- f(x) абсолютно интегрируема на каждом конечном отрезке оси X;
- существует положительное число H такое, что при $|x| \ge H$ функция f(x) монотонна и $\lim_{x \to \infty} f(x) = 0$.

2.2 Интеграл Фурье четной и нечетной функций

Преобразуем интеграл Фурье, развернув выражение сов под знаком интеграла:

$$\frac{1}{\pi} \cdot \int_{0}^{+\infty} d\alpha \cdot \int_{-\infty}^{+\infty} f(t) \cdot \cos(\alpha \cdot (x - t)) dt =$$

$$= \frac{1}{\pi} \cdot \int_{0}^{+\infty} d\alpha \cdot \int_{-\infty}^{+\infty} f(t) \cdot (\cos(\alpha \cdot x) \cdot \cos(\alpha \cdot t) + \sin(\alpha \cdot x) \cdot \sin(\alpha \cdot t)) dt$$

Формула Фурье (2.4) принимает вид:

$$f(x) = \int_{0}^{+\infty} (A(\alpha) \cdot \cos(\alpha \cdot x) + B(\alpha) \cdot \sin(\alpha \cdot x)) d\alpha , \qquad (2.5)$$

где
$$A(\alpha) = \frac{1}{\pi} \cdot \int_{-\infty}^{+\infty} f(t) \cdot \cos(\alpha \cdot t) dt$$
, $B(\alpha) = \frac{1}{\pi} \cdot \int_{-\infty}^{+\infty} f(t) \cdot \sin(\alpha \cdot t) dt$

Если f(x) - четная функция, то

$$A(\alpha) = \frac{2}{\pi} \cdot \int_{0}^{+\infty} f(t) \cdot \cos(\alpha \cdot t) dt, \text{ a } B(\alpha) = 0$$
 (2.6)

Если f(x) - нечетная функция, то

$$A(\alpha) = 0, B(\alpha) = \frac{2}{\pi} \cdot \int_{0}^{+\infty} f(t) \cdot \sin(\alpha \cdot t) dt$$
 (2.7)

Замечание:

в случае, когда функция f(x) определена лишь на полуоси $(0;+\infty)$, то, продолжая f(x) на полуось $(-\infty;0)$ четным или нечетным способом, получаем представление f(x) двумя различными интегралами Фурье.

Ряд Фурье осуществляет разложение периодического колебания на гармоники. Общий член ряда Фурье представляется в виде:

$$a_n \cdot \cos \frac{n \cdot \pi \cdot x}{l} + b_n \cdot \sin \frac{n \cdot \pi \cdot x}{l} = c_n \cdot \sin (\frac{n \cdot \pi}{l} \cdot x + (\varphi_0)_n),$$

где $a_n = c_n \cdot \sin(\varphi_o)_n$, а $b_n = c_n \cdot \cos(\varphi_o)_n$, и, следовательно, $c_n = \sqrt{a_n^2 + b_n^2}$,

и определяет гармонику с частотой $\frac{n \cdot \pi}{l}$, амплитудой c_n и с начальной фазой $(\varphi_0)_n$. Таким образом, ряд Фурье разлагает периодическое колебание на бесконечное множество гармоник, частоты которых образуют арифметическую прогрессию: $\frac{\pi}{l}, \frac{2 \cdot \pi}{l}, ..., \frac{n \cdot \pi}{l}, ...$

Условно рассматривая интеграл Фурье (2.5) как бесконечную сумму и представляя коэффициенты $A(\alpha)$ и $B(\alpha)$, как выше были представлены коэффициенты a_n и b_n тригонометрического ряда, придадим формуле Фурье механический смысл: формула Фурье осуществляет разложение непериодического колебания на непрерывное бесконечное множество гармоник, частоты которых непрерывно изменяются от $\alpha = 0$ до $\alpha = \infty$.

Пример 2.1

Представить интегралом Фурье функцию:

$$f(x) = \begin{cases} 1 & ,npu |x| < 1 \\ 0 & ,npu |x| > 1 \\ 1/2 & ,npu |x| = 1 \end{cases}$$

Решение

График функции представлен на рисунке 2.1.

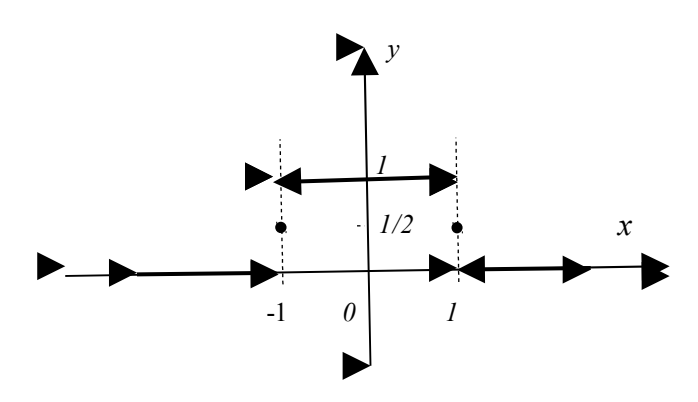


Рисунок 2.1 – График функции

Функция f(x) четная, применим формулу (2.6):

$$A(\alpha) = \frac{2}{\pi} \cdot \int_{0}^{+\infty} f(t) \cdot \cos(\alpha \cdot t) dt = \frac{2}{\pi} \cdot \int_{0}^{1} 1 \cdot \cos(\alpha \cdot t) dt = \frac{2}{\pi} \cdot \frac{\sin \alpha}{\alpha}.$$

$$f(x) = \int_{0}^{+\infty} A(\alpha) \cdot \cos(\alpha \cdot x) d\alpha = \frac{2}{\pi} \cdot \int_{0}^{+\infty} \frac{\sin \alpha}{\alpha} \cdot \cos(\alpha \cdot x) d\alpha$$

Замечание:

полученное разложение можно использовать для вычисления несобственного («неберущегося») интеграла.

$$f(0) = \frac{2}{\pi} \cdot \int_{0}^{+\infty} \frac{\sin \alpha}{\alpha} d\alpha$$
, но $f(0) = 1$. Отсюда $\int_{0}^{+\infty} \frac{\sin x}{x} dx = \frac{\pi}{2}$.

2.3 Косинус- и синус-преобразования Фурье

Положим в формулах (2.6), (2.7) $A(\alpha) = \sqrt{\frac{2}{\pi}} \cdot a(\alpha)$ и $B(\alpha) = \sqrt{\frac{2}{\pi}} \cdot b(\alpha)$. Получим

формулу Фурье в симметричной форме записи:

- в случае четной функции
$$f(x) = \sqrt{\frac{2}{\pi}} \cdot \int_{0}^{+\infty} a(\alpha) \cdot \cos(\alpha \cdot x) d\alpha$$
, (2.8)

где $a(\alpha) = \sqrt{\frac{2}{\pi}} \cdot \int_{0}^{+\infty} f(t) \cdot \cos(\alpha \cdot t) dt$ - косинус-преобразование Фурье.

- в случае нечетной функции
$$f(x) = \sqrt{\frac{2}{\pi}} \cdot \int_{0}^{+\infty} b(\alpha) \cdot \sin(\alpha \cdot x) d\alpha$$
, (2.9)

где $b(\alpha) = \sqrt{\frac{2}{\pi}} \cdot \int_{0}^{+\infty} f(t) \cdot \sin(\alpha \cdot t) dt$ - синус-преобразование Фурье.

Принята следующая терминология f(x) - оригинал, $a(\alpha)$, $b(\alpha)$ - изображение.

Пример 2.2

Найти косинус- и синус-преобразования функции $f(x) = e^{-x}$, $x \ge 0$.

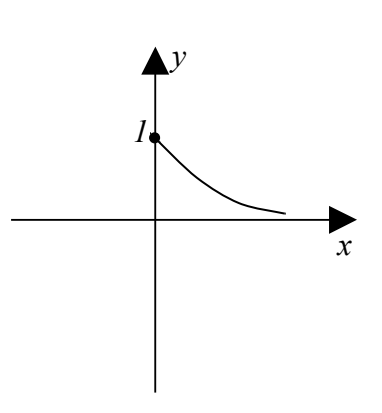
Решение

График функции представлен на рисунке 2.2.

Найдем косинус-преобразование:

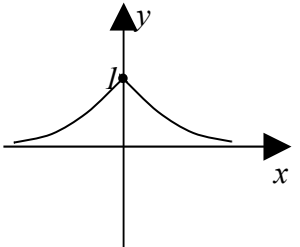
$$a(\alpha) = \sqrt{\frac{2}{\pi}} \cdot \int_{0}^{+\infty} e^{-t} \cdot \cos(\alpha \cdot t) dt = \sqrt{\frac{2}{\pi}} \cdot \frac{1}{\alpha^{2} + 1}.$$
 f(x)

Найдем синус-преобразование:



Таким образом, получили следующие представления функции e^{-x} интегралом Фурье, графики представлений — на рисунке 2.3.

$$e^{-x} = \sqrt{\frac{2}{\pi}} \cdot \int_{0}^{+\infty} a(\alpha) \cdot \cos(\alpha \cdot x) d\alpha = \frac{2}{\pi} \cdot \int_{0}^{+\infty} \frac{\cos(\alpha \cdot x)}{\alpha^{2} + 1} d\alpha$$



$$e^{-x} = \sqrt{\frac{2}{\pi}} \cdot \int_{0}^{+\infty} b(\alpha) \cdot \sin(\alpha \cdot x) d\alpha = \frac{2}{\pi} \cdot \int_{0}^{+\infty} \frac{\alpha \cdot \sin(\alpha \cdot x)}{\alpha^{2} + 1} d\alpha$$

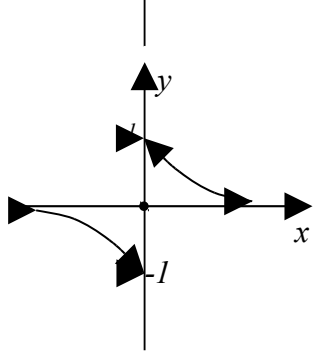


Рисунок 2.3 – Графики представлений функции

Замечания:

1. представление данной функции интегралом Фурье неединственно, так как она задана при $x \ge 0$. Косинус-преобразование мы получили, продолжив данную функцию четным образом, а синус-преобразование — нечетным образом. При x > 0

оба интеграла
$$\frac{2}{\pi} \cdot \int\limits_0^{+\infty} \frac{\cos(\alpha \cdot x)}{\alpha^2 + 1} d\alpha$$
 и $\frac{2}{\pi} \cdot \int\limits_0^{+\infty} \frac{\alpha \cdot \sin(\alpha \cdot x)}{\alpha^2 + 1} d\alpha$ равны функции e^{-x} . При $x < 0$

$$\frac{2}{\pi} \cdot \int_{0}^{+\infty} \frac{\cos(\alpha \cdot x)}{\alpha^2 + 1} d\alpha = e^x$$
, а $\frac{2}{\pi} \cdot \int_{0}^{+\infty} \frac{\alpha \cdot \sin(\alpha \cdot x)}{\alpha^2 + 1} d\alpha = -e^x$. При $x = 0$ несобственный интеграл

$$\frac{2}{\pi} \cdot \int_{0}^{+\infty} \frac{\cos(\alpha \cdot x)}{\alpha^{2} + 1} d\alpha \quad \text{сходится } \kappa \quad f(0) = 1, \text{ а несобственный интеграл} \quad \frac{2}{\pi} \cdot \int_{0}^{+\infty} \frac{\alpha \cdot \sin(\alpha \cdot x)}{\alpha^{2} + 1} d\alpha$$
 сходится $\kappa = 0$.

2. полученные представления используются в математике под названием интегралов Лапласа:

$$\int\limits_0^{+\infty} \frac{\cos(\alpha \cdot x)}{\alpha^2 + 1} d\alpha = \frac{\pi}{2} \cdot e^{-x} , \quad \int\limits_0^{+\infty} \frac{\alpha \cdot \sin(\alpha \cdot x)}{\alpha^2 + 1} d\alpha = \frac{\pi}{2} \cdot e^{-x} , \text{ при } x > 0.$$

2.4 Комплексная форма записи интеграла Фурье

Согласно равенству (2.4')
$$f(x) = \frac{1}{2 \cdot \pi} \cdot \int_{-\infty}^{+\infty} d\alpha \cdot \int_{-\infty}^{+\infty} f(t) \cdot \cos(\alpha \cdot (x-t)) dt$$
.

Кроме того, справедливо равенство $0 = \frac{1}{2 \cdot \pi} \cdot \int_{-\infty}^{+\infty} d\alpha \int_{-\infty}^{+\infty} f(t) \cdot \sin(\alpha \cdot (x-t)) dt$, так как, внутренний интеграл есть нечетная функция от α . Сложим эти два равенства, умножив предварительно второе на i, получаем:

$$f(x) = \frac{1}{2 \cdot \pi} \int_{-\infty}^{+\infty} d\alpha \int_{-\infty}^{+\infty} f(t) \cdot (\cos(\alpha \cdot (x-t)) + i \cdot \sin(\alpha \cdot (x-t))) dt =$$

$$= \frac{1}{2 \cdot \pi} \int_{-\infty}^{+\infty} d\alpha \int_{-\infty}^{+\infty} f(t) \cdot e^{i \cdot \alpha \cdot (x-t)} dt$$

Получаем интеграл Фурье в комплексной форме:

$$f(x) = \frac{1}{2 \cdot \pi} \int_{-\infty}^{+\infty} e^{\alpha \cdot x \cdot i} d\alpha \int_{-\infty}^{+\infty} e^{-\alpha \cdot t \cdot i} \cdot f(t) dt$$
 (2.10)

Положим
$$c(\alpha) = \frac{1}{\sqrt{2 \cdot \pi}} \int_{-\infty}^{+\infty} f(t) \cdot e^{-\alpha \cdot t \cdot i} dt$$
, (2.11)

тогда
$$f(x) = \frac{1}{\sqrt{2 \cdot \pi}} \int_{-\infty}^{+\infty} c(\alpha) \cdot e^{\alpha \cdot x \cdot i} d\alpha$$
 (2.12)

Комплексная функция $c(\alpha)$ действительной переменной называется трансформантой Фурье функции f(x), переход от f(x) к $c(\alpha)$ называется преобразованием Фурье. Формулы (2.11) и (2.12) осуществляют прямое и обратное преобразование Фурье.

По аналогии с рядом Фурье (1.16) и спектральной последовательностью (1.17), осуществляющей дискретный спектр функции f(x), комплексная функция $c(\alpha)$ называется спектральной функцией для функции f(x), осуществляющей непрерывный спектр (ℓ 0 непрерывно изменяется от ℓ 1 до ℓ 2 до ℓ 3. Модуль ℓ 3 спектральной функции называется амплитудным спектром функции ℓ 4 аргумент сопряженной функции ℓ 5 дазовым спектром.

Свойства трансформант Фурье:

1) если f(x) абсолютно интегрируема в интервале $(-\infty;\infty)$, то функция $c(\alpha)$ непрерывна при $\alpha \in R$ и стремится к нулю при $\alpha \to \pm \infty$;

- 2) если для некоторого натурального числа n функция $x^n \cdot f(x)$ абсолютно интегрируема в интервале $(-\infty;\infty)$, то функция $c(\alpha)$ n-раз дифференцируема и все производные $c'(\alpha)$, ..., $c^{(n)}(\alpha)$ стремятся к нулю при $\alpha \to \pm \infty$;
- 3) если f(x) и первые ее n-1 производных стремятся к нулю при $x \to \pm \infty$, а n-я производная $f^{(n)}(x)$ в интервале $(-\infty,\infty)$ абсолютно интегрируема, то $\lim_{\alpha \to \pm \infty} \alpha^n \cdot c(\alpha) = 0$.

Разнообразные применения преобразования Фурье в теории вероятностей, при решении краевых задач и интегральных уравнений, а также в электродинамике и других технических областях обуславливаются главным образом следующими теоремами.

Теорема о свертке

Трансформанта Фурье свертки двух функций $(f * g)(x) = \int_{-\infty}^{+\infty} f(y) \cdot g(x - y) \cdot dy$ равна с точностью до $\sqrt{2\pi}$ произведению трансформант Фурье отдельных сомножителей:

$$\frac{1}{\sqrt{2\pi}} \cdot \int_{-\infty}^{+\infty} (f * g)(x) \cdot e^{ix\alpha} \cdot dx = \sqrt{2\pi} \cdot c_f(\alpha) \cdot c_g(\alpha)$$
 (2.13)

Теорема непрерывности

Если $\lim_{n\to\infty} f_n(x) = f(x)$, тогда также $\lim_{n\to\infty} c_n(\alpha) = c(\alpha)$.

На практике обычно важнее обратное:

если трансформанты Фурье $c_n(\alpha)$ последовательности функций $f_n(x)$ сходятся к непрерывной функции $c(\alpha)$, то существует функция f(x) такая, что $\lim_{n\to\infty} f_n(x) = f(x)$ и $c(\alpha)$ есть трансформанта Фурье функции f(x).

Теорема о дифференцировании

Во множестве значений преобразования Фурье операция дифференцирования преобразуется в сущности в умножение на независимую переменную, т.е. если $c_{f'}(\alpha)$ есть трансфоманта Фурье функции f'(x), то:

$$c_{f'}(\alpha) = -i \cdot \alpha \cdot c_f(\alpha),$$

где $c_f(\alpha)$ - трансформанта Фурье функции f(x).

2.5 Указания к решению задач по теме «Преобразование Фурье» в системе MathCAD

При представлении функции через интеграл Фурье приходится вычислять несобственные интегралы. Для вычисления несобственных интегралов в системе MathCAD используется панель «Операторы математического анализа». Щелкните по кнопке «Определенный интеграл» (или используйте сочетание клавиш Shift+7), введите в отмеченных позициях пределы интегрирования, один из которых бесконечен (символ бесконечности в той же панели или клавиши Ctrl+Shift+Z), подынтегральную функцию и переменную интегрирования, выделите интеграл и щелкните по кнопке «Символическая оценка» (Ctrl+Shift+.) в панели «Символические операторы».

При помощи символьного процессора MathCad можно осуществить прямое и обратное преобразование Фурье, для этого используются операторы *fourier* и *infourier* панели «Символические операторы». При решении задачи выделите функцию, щелкните по кнопке «fourier» (или «infourier») и укажите переменную, по которой совершается преобразование.

Аналогично большинству операций символьного процессора MathCAD интегральные преобразования Фурье можно проводить и при помощи команд меню «Символы/Преобразования», для чего выделите переменную, по которой совершается преобразование, и выберите в меню строку «Символы/Преобразования/Фурье».

Следует иметь в виду, что результаты, получаемые в MathCad, могут содержать обобщенные функции. Например, дельта-функция Дирака (Dirac(x) или $\Delta(x)$), которая равна нулю при всех значениях x, отличных от нуля, и принимает

значение бесконечность при нулевом значении
$$x:\begin{cases} \Delta(x)=0, x\neq 0\\ \int\limits_{-\infty}^{+\infty} \Delta(x) dx=1 \end{cases}$$
 .

Пример использования этих символьных операторов приводится в листинге 2.3.

2.6 Примеры решения задач

Задача 1

Представить интегралом Фурье функцию $f(x) = e^{-x}$, x > 0, продолжив предварительно ее нечетным способом.

Решение

Функция – нечетная, поэтому используем формулу (2.7):

$$B(\alpha) = \frac{2}{\pi} \cdot \int_{0}^{+\infty} e^{-t} \cdot \sin(\alpha \cdot t) dt$$
. Для вычисления несобственного интеграла

используем MathCAD (листинг № 2.1). Получим $B(\alpha) = \frac{2}{\pi} \cdot \frac{\alpha}{1 + \alpha^2}$. Следовательно

$$f(x) = \frac{2}{\pi} \cdot \int_{0}^{+\infty} \frac{\alpha \cdot \sin(\alpha \cdot x)}{1 + \alpha^{2}} d\alpha$$

$$\left[\begin{array}{c} \frac{2}{\pi} \cdot \int_{0}^{\pi} e^{-t} \cdot \sin(\alpha \cdot t) dt \rightarrow \frac{2}{\left[\pi \cdot \left(1 + \alpha^{2}\right)\right]} \cdot \alpha \end{array}\right]$$

Листинг 2.1

Задача 2

Представить интегралом Фурье функцию $f(x) = \frac{x}{1+x^2}$.

Решение

Функция — нечетная, по формуле (2.7) получаем $B(\alpha) = \frac{2}{\pi} \cdot \int_{0}^{+\infty} \frac{t}{1+t^2} \cdot \sin(\alpha \cdot t) dt$.

Пользуясь результатом задачи №1, данный интеграл равен $e^{-\alpha}$, $\alpha > 0$. Если $B(\alpha)$ вычислять при помощи MathCAD, то внешний вид функции $B(\alpha)$ будет отличаться от $e^{-\alpha}$. Это связано с тем, что по умолчанию операции MathCAD совершаются с комплексными числами (листинг 2.2).

Листинг 2.2

Задача 3

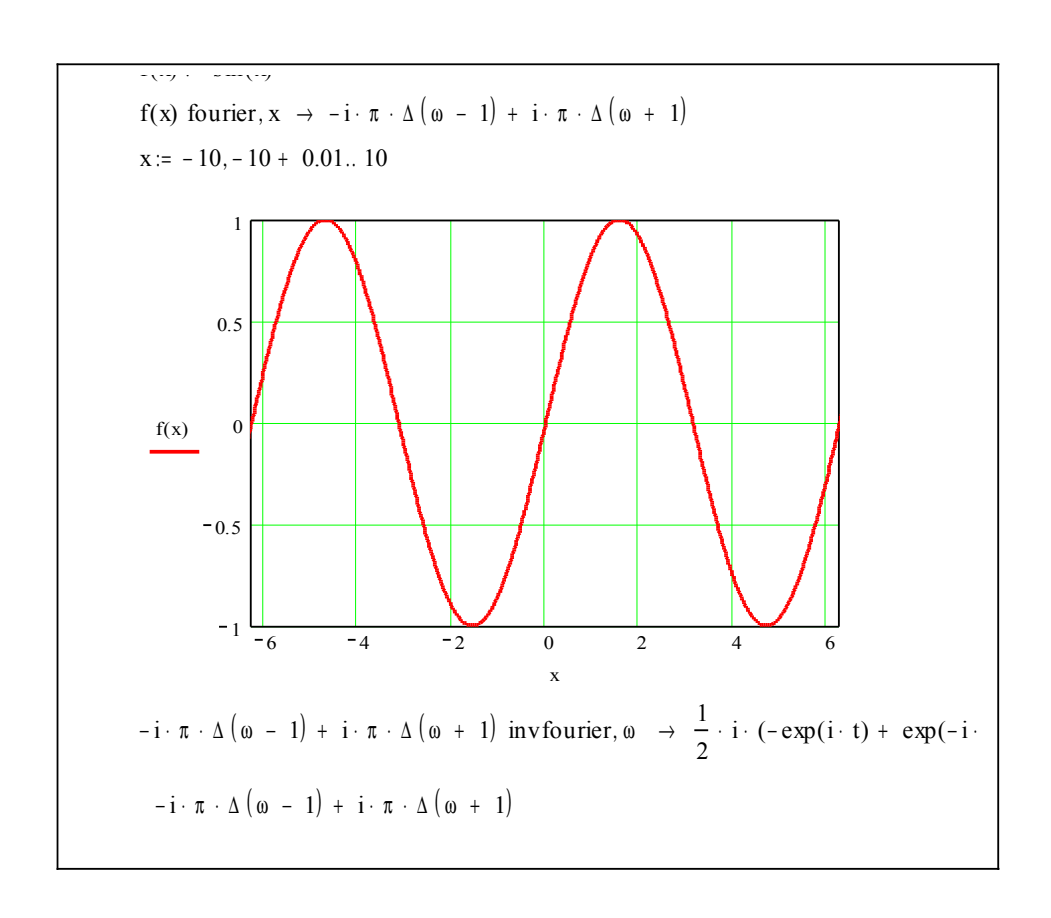
Найти преобразование Фурье функции $f(x) = \sin(x)$.

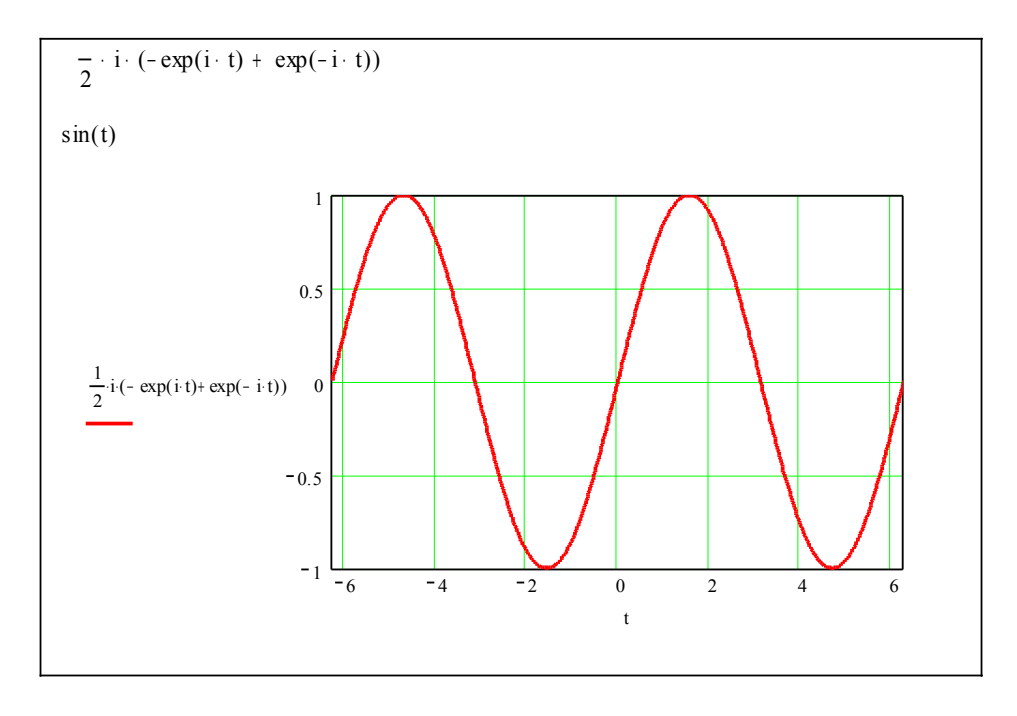
Решение

По формуле (2.11) $C(\alpha) = \frac{1}{\sqrt{2 \cdot \pi}} \cdot \int_{-\infty}^{+\infty} \sin(x) \cdot e^{-\alpha \cdot t \cdot i} dt$. При решении задачи в MathCAD используем оператор *fourier* (см. листинг 2.3). Получаем $C(\alpha) = -i \cdot \pi \cdot \Delta(\omega - 1) + i \cdot \pi \cdot \Delta(\omega + 1)$, где $\Delta(x)$ - дельта-функция Дирака.

Совершим обратное преобразование Фурье: $f(x) = \frac{1}{\sqrt{2 \cdot \pi}} \int_{-\infty}^{+\infty} c(\alpha) \cdot e^{\alpha \cdot x \cdot i} d\alpha$. При решении задачи в MathCAD используем оператор *infourier*. Получаем:

 $f(t) = \frac{1}{2} \cdot i \cdot (-e^{i \cdot t} + e^{-i \cdot t})$. Используя команду меню «Символы/Упростить», получаем $f(t) = \sin(t)$.





Листинг 2.3

3 Задачи для самостоятельного решения

1 Указанные ниже функции разложить в ряд Фурье в интервале $(-\pi;\pi)$, определить сумму ряда на концах интервала, графически исследовать сходимость частичных сумм полученного ряда:

| 1.1. $f(x) = x^2 + 2x$ | 1.6. $f(x) = \cos 2x + x$ |
|-------------------------------|----------------------------|
| 1.2. $f(x) = \sqrt{x} + x$ | $1.7. f(x) = \sin 2x - x$ |
| 1.3. $f(x) = \sqrt[3]{x} - x$ | 1.8. $f(x) = x^2 + \cos x$ |
| 1.4. $f(x) = e^{2x}$ | 1.9. $f(x) = Ln(x+5)$ |
| 1.5. $f(x) = x + e^x$ | 1.10. $f(x) = e^{-x} + x$ |

2 Разложить в интервале (0;1) в неполные ряды Фурье: а) по синусам кратных дуг; б) по косинусам кратных дуг следующие функции. Построить график самой функции и частичных сумм рядов Фурье при n=1, 2, 5, 10, 20 (также и вне интервала (0;1).

| $2.1. \ \ f(x) = x^2 + 2x$ | $2.6. \ f(x) = \cos 2x + x$ |
|-------------------------------|------------------------------|
| $2.2. \ f(x) = \sqrt{x} + x$ | $2.7. \ f(x) = \sin 2x - x$ |
| 2.3. $f(x) = \sqrt[3]{x} - x$ | $2.8. \ f(x) = x^2 + \cos x$ |
| 2.4. $f(x) = e^{2x}$ | 2.9. $f(x) = Ln(x+5)$ |
| 2.5. $f(x) = x + e^x$ | 2.10. $f(x) = e^{-x} + x$ |

3 Указанные ниже функции разложить в ряд Фурье на области определения, определить сумму ряда в точках разрыва и на концах интервала, графически исследовать сходимость частичных сумм полученного ряда:

| 3.1. $f(x) = \begin{cases} -2 & npu - 3 < x < -1 \\ 2 + x & npu - 1 < x < 1 \end{cases}$ | 3.6. $f(x) = \begin{cases} 1 - x & npu & 1 < x < 2 \\ x + 1 & npu & 2 < x < 3 \end{cases}$ |
|--|---|
| 3.2. $f(x) = \begin{cases} -2x+1 & npu - 1 < x < 1 \\ 2 & npu 1 < x < 2 \end{cases}$ | $3.7. \ f(x) = \begin{cases} 3x + 2 \ npu - 1 < x < 0 \\ 5 - x \ npu \ 0 < x < 2 \end{cases}$ |
| 3.3. $f(x) = \begin{cases} x+1 & npu & 1 < x < 2 \\ 1 & npu & 2 < x < 3 \end{cases}$ | 3.8. $f(x) = \begin{cases} 5 & npu \ 1 < x < 5 \\ x + 1 & npu \ 5 < x < 7 \end{cases}$ |
| $3.4. \ f(x) = \begin{cases} -x & npu - 3 < x < -1 \\ x + 1 & npu - 1 < x < 1 \end{cases}$ | $3.9. \ f(x) = \begin{cases} -x \ npu - 3 < x < -2 \\ x \ npu - 2 < x < 1 \end{cases}$ |
| 3.5. $f(x) = \begin{cases} 2x - 1 & npu - 2 < x < -1 \\ 1 + x & npu - 1 < x < 2 \end{cases}$ | 3.10. $f(x) = \begin{cases} 2 - x & npu - 1 < x < 1 \\ 2 + x & npu - 1 < x < 3 \end{cases}$ |

4 Для заданной в интервале $(-\pi;\pi)$ функции найти тригонометрический многочлен наилучшего приближения наименьшей степени со среднеквадратическим отклонением, меньшим 0.02. Построить график зависимости среднеквадратического отклонения от степени многочлена.

| $4.1. f(x) = \sin(x) + x $ | 4.6. $f(x) = x - 2 \cdot \sin(x) $ |
|-------------------------------------|--|
| 4.2. $f(x) = \sin(x) + 2 \cdot x $ | $4.7. f(x) = \left \frac{1}{2} \cdot x + \sin(x) \right $ |
| 4.3. $f(x) = \sin(x) - x $ | $4.8. \ f(x) = \left \sin(\frac{1}{2} \cdot x) \right $ |
| 4.4. $f(x) = \sin(x) - 2 \cdot x $ | 4.9. $f(x) = \left \sin(\frac{1}{2} \cdot x) + x \right $ |
| 4.5. $f(x) = 2 \cdot \sin(x) + x $ | 4.10. $f(x) = x - \sin(\frac{1}{2}x) $ |

5 Построить графики данных функций и представить их интегралами Фурье:

| 5.1. $f(x) = 0$ | $ \begin{cases} \sin(x), x < \pi \\ 0, x \ge \pi \end{cases} $ | 5.6. $f(x) = \begin{cases} 6 & \text{f}(x) = \\ 1 & \text{f}(x) = $ | $ \cos(x), x \le \pi 0, x > \pi $ |
|----------------------------|--|--|---|
| 5.2. $f(x) = -\frac{1}{2}$ | $\begin{cases} 1+x, -1 < x \le 0 \\ 1-x, 0 < x < 1 \\ 0, x \ge 1 \end{cases}$ | 5.7. $f(x) = \begin{cases} 6 & \text{ft}(x) = 0 \end{cases}$ | $ \begin{cases} 0, x \le 0 \\ \sin x, 0 < x < \pi \\ 0, x \ge \pi \end{cases} $ |
| 5.3. $f(x) = 6$ | $ \begin{cases} 0, x \le 0 \\ \cos x, 0 < x < \pi \\ 0, x \ge \pi \end{cases} $ | | $ \begin{cases} 2 - x, -1 < x < 0 \\ x - 2, 0 \le x < 1 \\ 0, x \ge 1 \end{cases} $ |
| 5.4. $f(x) = -\frac{1}{2}$ | $ \begin{array}{c c} 3 - x, -1 < x < 0 \\ x - 3, 0 \le x < 1 \\ 0, x \ge 1 \end{array} $ | 5.9. $f(x) = \begin{cases} 6 & \text{if } (x) = x \\ 0 & \text{if } (x) = x \end{cases}$ | $ \begin{array}{c} x - 2, -1 < x < 0 \\ 2 - x, 0 \le x < 1 \\ 0, x \ge 1 \end{array} $ |
| $\int 5.5. \ f(x) = 0$ | $\begin{cases} 1 - x, -1 < x \le 0 \\ 1 + x, 0 < x < 1 \\ 0, x \ge 1 \end{cases}$ | 5.10. $f(x)$ = | $= \begin{cases} x-3, -1 < x < 0 \\ 3-x, 0 \le x < 1 \\ 0, x \ge 1 \end{cases}$ |

Список использованных источников

- 1 Вся высшая математика: учебник / М.Л. Краснов [и др.]. 2-е изд. М.: Едиториал УРСС, 2005. 240 с.
- 2 Бронштейн, И.Н. Справочник по математике для инженеров и учащихся втузов / И.Н. Бронштейн, К.А. Семендяев. 13-е изд. -М.: Наука, 1986. 544 с. 3 Ильин, В.А. Математический анализ. Продолжение курса / В.А. Ильин, В.А.
- Садовничий, Бл.Х. Сендов; под ред. А.Н. Тихонова. М.: Изд-во МГУ, 1987. 358 с.
- 4 Кирьянов, Д.В. Самоучитель MathCAD 13 / Д.В. Кирьянов СПб.: БХВ-Петербург, 2006. 528 с.
- 5 Кудрявцев, Л.Д. Краткий курс математического анализа: в 3 т.: учебник / Л.Д. Кудрявцев.- М.: ФИЗМАТЛИТ, 2003. Т.3: Дифференциальное и интегральное исчисления функций многих переменных. Гармонический анализ. 424 с.
- 6 Плис, А.И. MathCAD: математический практикум для экономистов и инженеров: учеб.пособие / А.И. Плис, Н.А. Сливина М.: Финансы и статистика, 1999. 656 с.

Приложение А

Таблица трансформант Фурье

| | Косинус - преобразования Фурье |
|---|--|
| f(x) | $F(y) = \sqrt{\frac{1}{\pi}} \int_0^{+\infty} f(x) \cos(xy) dx$ |
| $ \begin{cases} 1, & 0 < x < a, \\ 0, & x > a \end{cases} $ | $\sqrt{\frac{2}{\pi}} \frac{\sin(ay)}{y}$ |
| $\begin{cases} x, & 0 < x < 1, \\ 2 - x, & 1 < x < 2, \\ 0, & x > 2 \end{cases}$ | $4\sqrt{\frac{2}{\pi}}\left(\cos y \sin^2 \frac{y}{2}\right)y^{-2}$ |
| $\begin{cases} x, & 0 < x < 1, \\ 2 - x, & 1 < x < 2, \\ 0, & x > 2 \end{cases}$ $\begin{cases} 0, & 0 < x < a, \\ \frac{1}{x}, & x > a \end{cases}$ $\frac{1}{\sqrt{x}}$ | $-\sqrt{\frac{2}{\pi}} Ci (ay)$ |
| $\frac{1}{\sqrt{\chi}}$ | $\frac{1}{\sqrt{y}}$ |
| $\begin{cases} \frac{1}{\sqrt{x}}, & 0 < x < a, \\ 0, & x > a \end{cases}$ | $\frac{2C(ay)}{\sqrt{y}}$ |
| $\begin{cases} 0, & 0 < x < a, \\ \frac{1}{\sqrt{x}}, & x > a \end{cases}$ | $\frac{1-2C\left(ay\right)}{\sqrt{y}}$ |
| $(a+x)^{-1}$ $(a>0)$ | $\sqrt{\frac{2}{\pi}} \left[-si(ay)\sin(ay) - Ci(ay)\cos(ay) \right]$ |
| $(a-x)^{-1} (a>0)$ | $\sqrt{\frac{2}{\pi}} \left[\cos(ay) \operatorname{Ci}(ay) + \sin(ay) \left(\frac{\pi}{2} + \operatorname{Si}(ay) \right) \right]$ |
| $(a^2 + x^2)^{-1}$ | $\sqrt{\frac{\pi}{2}} \frac{e^{-ay}}{a}$ |
| $(a^2 - x^2)^{-1}$ | $\sqrt{\frac{\pi}{2}} \frac{\sin(ay)}{y}$ |
| $\frac{b}{b^2+(a-x)^2}+$ | $\sqrt{2\pi} e^{-by} \cos(ay)$ |
| $+\frac{b}{b^2+(a+x)^2}$ | |

| $\frac{a+x}{b^2+(a+x)^2}+$ | $\sqrt{2\pi} e^{-by} \sin(ay)$ |
|--|--|
| $+\frac{a-x}{b^2+(a-x)^2}$ | |
| $(a^2 + x^2)^{-1/2}$ | $\sqrt{\frac{2}{\pi}} K_0(ay)$ |
| $ \begin{vmatrix} (a^2 - x^2)^{-1/2} \\ npu & 0 < x < a \\ 0 \\ npux > a \end{vmatrix} $ | $\sqrt{\frac{\pi}{2}} J_0(ay)$ |
| x^{-v} , $0 < Re \ v < 1$ | $\sqrt{\frac{2}{\pi}}\sin\left(\frac{\pi v}{2}\right)\Gamma(1-v)y^{v-1}$ |
| e^{-ax} | $\sqrt{\frac{2}{\pi}} \frac{a}{a^2 + y^2}$ |
| $\frac{e^{-bx} - e^{-ax}}{x}$ | $\frac{1}{\sqrt{2\pi}} \ln \left(\frac{a^2 + y^2}{b^2 + y^2} \right)$ |
| $\sqrt{x} e^{-ax}$ | $\frac{\sqrt{2}}{2} (a^2 + y^2)^{-3/4} cos\left(\frac{3}{2} arctg\frac{y}{a}\right)$ |
| $\frac{e^{-ax}}{\sqrt{x}}$ | $\frac{\sqrt{2}}{2} (a^2 + y^2)^{-3/4} cos \left(\frac{3}{2} arct g \frac{y}{a}\right)$ $\left(\frac{a + (a^2 + y^2)^{1/2}}{a^2 + y^2}\right)^{1/2}$ |
| $x^n e^{-ax}$ | $\sqrt{\frac{2}{\pi}} n! a^{n+1} (a^2 + y^2)^{-(n+1)} \sum_{0 \le 2m \le n+1} (-1)^m C_{n+1}^{2m} \left(\frac{y}{a}\right)^{2m}$ |
| $x^{v-1}e^{-ax}$ | $\sqrt{\frac{2}{\pi}} \Gamma(v) (a^2 + y^2)^{-v/2} cos \left(v \operatorname{arctg} \frac{y}{a} \right)$ |
| $\frac{1}{x}\left(\frac{1}{2} - \frac{1}{x} + \frac{1}{e^x - 1}\right)$ | $-\frac{1}{\sqrt{2\pi}}\ln(1-e^{-2\pi y})$ |
| e^{-ax^2} | $\frac{\sqrt{2}}{2} a^{-1/2} e^{-y^2/4a}$ |
| $x^{-1/2}e^{-a/x}$ | $\frac{1}{\sqrt{y}}e^{-\sqrt{2ay}}(\cos\sqrt{2ay}-\sin\sqrt{2ay})$ |
| $x^{-3/2}e^{-a/x}$ | $\sqrt{\frac{2}{a}} e^{-\sqrt{2ay}} \cos\sqrt{2ay}$ |

| $ \begin{cases} ln x, & 0 < x < 1, \\ 0, & x > 1 \end{cases} $ | 2 Si(y) |
|--|--|
| (0, 1/1 | $-\sqrt{\frac{2}{\pi}}\frac{Si(y)}{y}$ |
| $\frac{\ln x}{\sqrt{x}}$ | $-\frac{1}{\sqrt{y}}\left(C + \frac{\pi}{2} + \ln(4y)\right)$ |
| Y | |
| $(x^2 - a^2)^{-1} \ln \frac{x}{a}$ | $\sqrt{\frac{\pi}{2}} \frac{1}{a} (\sin(ay) \operatorname{Ci}(ay) - \cos(ay) \operatorname{si}(ay))$ |
| $(x^2-a^2)^{-1}\ln bx$ | $\sqrt{\frac{\pi}{2}} \frac{1}{a} \{ \sin(ay) \left[Ci(ay) - \ln(ab) \right] - \cos(ay) \sin(ay) \}$ |
| $\frac{1}{x}\ln(1+x)$ | $\sqrt{2\pi} \left[\left(Ci(y) \right)^2 + (si(y))^2 \right]$ |
| $\ln \left \frac{a+x}{b-x} \right $ | $\sqrt{\frac{2}{\pi}} \cdot \frac{1}{v} \cdot \left(\frac{\pi}{2} \cdot (\cos by - \cos ay) + \cos by \cdot Si(by) + \frac{\pi}{2}\right)$ |
| | $+\cos ay \cdot Si(ay) - \sin ay \cdot Ci(ay) - \sin by \cdot Ci(by)$ |
| $e^{-ax} \ln x$ | $-\sqrt{\frac{2}{\pi}} \frac{1}{a^2 + y^2} \left[aC + \frac{a}{2} \ln(a^2 + y^2) + y \arctan\left(\frac{y}{a}\right) \right]$ |
| $ \ln\left(\frac{a^2 + x^2}{b^2 + x^2}\right) $ | $\frac{\sqrt{2\pi}}{y}\left(e^{-by}-e^{-ay}\right)$ |
| $ \ln\left \frac{a^2+x^2}{b^2-x^2}\right $ | $\frac{\sqrt{2\pi}}{y}\left(\cos(by) - e^{-ay}\right)$ |
| $\left \frac{1}{x}\ln\left(\frac{a+x}{a-x}\right)^2\right $ | $-2\sqrt{2\pi}si(ay)$ |
| $\frac{\ln(a^2 + x^2)}{\sqrt{a^2 + x^2}}$ | $-\sqrt{\frac{2}{\pi}}\left[\left(C + \ln\left(\frac{2y}{a}\right)\right)K_0(ay)\right]$ |
| $ln\left(1+\frac{a^2}{x^2}\right)$ | $\sqrt{2\pi} \frac{1 - e^{-ay}}{y}$ |
| $ln\left 1-\frac{a^2}{x^2}\right $ | $\sqrt{2\pi} \frac{1 - \cos(ay)}{y}$ |
| $\frac{\sin(ax)}{x}$ | $\sqrt{\frac{\pi}{2}}$, $y < a$, |
| | $\begin{cases} \sqrt{\frac{\pi}{2}}, & y < a, \\ \frac{1}{2}\sqrt{\frac{\pi}{2}}, & y = a, \\ 0, & y = 0 \end{cases}$ |
| $x \sin(ax)$ | 0, y = 0 |
| $x^2 + b^2$ | $\int \sqrt{\frac{2}{2}} e^{-ab} ch(by), y < a,$ |
| | $\begin{cases} \sqrt{\frac{\pi}{2}}e^{-ab}ch(by), & y < a, \\ -\sqrt{\frac{\pi}{2}}e^{-by}sh(ab), & y > a \end{cases}$ |

| $\sin(ax)$ | <u>(π</u> |
|---------------------------------|---|
| $\frac{x(x^2+b^2)}{x(x^2+b^2)}$ | $\int \sqrt{\frac{n}{2}} b^{-2} (1 - e^{-ab} ch(by)), y < a,$ |
| | $\sqrt{\frac{\pi}{2}}b^{-2}e^{-by}sh(ab), \qquad y > a$ |
| $e^{-bx}\sin(ax)$ | $\frac{1}{\sqrt{2\pi}} \left[\frac{a+y}{b^2 + (a+y)^2} + \frac{a-y}{b^2 + (a-y)^2} \right]$ |
| $e^{-x}\sin x$ | |
| $\frac{c-\sin x}{x}$ | $\frac{1}{\sqrt{2\pi}} arctg\left(\frac{2}{y^2}\right)$ |
| $\frac{\sin^2(ax)}{x}$ | $\frac{1}{2\sqrt{2\pi}}\ln\left 1-4\frac{a^2}{y^2}\right $ |
| $\frac{\sin(ax)\sin(bx)}{x}$ | $\frac{1}{\sqrt{2\pi}} \ln \left \frac{(a+b)^2 - y^2}{(a-b)^2 - y^2} \right $ |
| X | |
| $\frac{\sin^2(ax)}{x^2}$ | $\left\{ \sqrt{\frac{\pi}{2}} \left(a - \frac{1}{2} y \right), y < 2a, \right.$ |
| | $\begin{cases} \sqrt{2} & \sqrt{2} \\ 0, & y > 2a \end{cases}$ |
| $\sin^3(ax)$ | $\frac{1}{4\sqrt{2\pi}} \cdot ((y+3a)\ln(y+3a) + (y-3a)\ln y-3a -$ |
| X ² | $-(y+a)\ln(y+a) - (y-a)\ln y-a)$ |
| $\frac{\sin^3(ax)}{x^3}$ | $\int \frac{1}{4} \sqrt{\frac{\pi}{2}} (3a^2 - y^2), 0 < y < a,$ |
| | $\begin{cases} \frac{1}{2}\sqrt{\frac{\pi}{2}}y^2, & y = a, \end{cases}$ |
| | $\begin{cases} \frac{1}{8} \sqrt{\frac{\pi}{2}} (3a - y)^2, & a < y < 3a, \\ 0, & y > 3a \end{cases}$ |
| $\frac{1-\cos(ax)}{x}$ | $\left \frac{1}{\sqrt{2\pi}} ln \left 1 - \frac{a^2}{y^2} \right \right $ |
| $\frac{1-\cos(ax)}{x^2}$ | $ \begin{cases} \sqrt{\frac{\pi}{2}}(a-y), & y < a, \end{cases} $ |
| | (0, y > a) |
| $\cos(ax)$ | $\int \overline{\pi} e^{-ab} ch(by)$ |
| $b^2 + x^2$ | $\int \sqrt{\frac{\pi}{2}} \frac{e^{-ab} ch(by)}{b}, y < a,$ |
| | $\sqrt{\frac{\pi}{2}} \frac{e^{-by} ch(ab)}{b}, y > a$ |
| $e^{-bx}\cos(ax)$ | $\frac{b}{\sqrt{2\pi}} \left[\frac{1}{b^2 + (a-y)^2} + \frac{1}{b^2 + (a+y)^2} \right]$ |
| $e^{-bx^2}\cos(ax)$ | $\frac{1}{\sqrt{2b}}e^{-(a^2+y^2)/(4b)}ch\left(\frac{ay}{2b}\right)$ |

| $\frac{x}{b^2 + x^2} tg(ax)$ | $\sqrt{2\pi}ch(by)(1+e^{2ab})^{-1}$ |
|--|--|
| $\frac{x}{b^2 + x^2} ctg(ax)$ | $\sqrt{2\pi}ch(by)(e^{2ab}-1)^{-1}$ |
| $\sin(ax^2)$ | $\frac{1}{2\sqrt{a}}\left(\cos\left(\frac{y^2}{4a}\right) - \sin\left(\frac{y^2}{4a}\right)\right)$ |
| $\sin[a(1-x^2)]$ | $-\frac{1}{\sqrt{2a}}\cos\left(a+\frac{\pi}{4}+\frac{y^2}{4a}\right)$ |
| $\frac{\sin(ax^2)}{x^2}$ | $\sqrt{\frac{\pi}{2}}y\left[S\frac{y^2}{4a} - C\left(\frac{y^2}{4a}\right)\right] + \sqrt{2a}\sin\left(\frac{\pi}{4} + \frac{y^2}{4a}\right)$ |
| $\frac{\sin(ax^2)}{x}$ | $\sqrt{\frac{\pi}{2}} \left\{ \frac{1}{2} - \left[C \left(\frac{y^2}{4a} \right) \right]^2 - \left[S \left(\frac{y^2}{4a} \right) \right]^2 \right\}$ |
| $e^{-ax^2}\sin(bx^2)$ | $\frac{1}{\sqrt{2}}(a^2+b^2)^{-1/4}e^{-\frac{1}{4}ay^2(a^2+b^2)^{-1}}\sin\left[\frac{1}{2}\arctan\left(\frac{b}{a}\right)-\frac{by^2}{4(a^2+b^2)}\right]$ |
| $\cos(ax^2)$ | $\frac{1}{2\sqrt{a}}\left[\cos\left(\frac{y^2}{4a}\right) + \sin\left(\frac{y^2}{4a}\right)\right]$ |
| $\cos[a(1-x^2)]$ | $\frac{1}{\sqrt{2a}}\sin\left(a+\frac{\pi}{4}+\frac{y^2}{4a}\right)$ |
| $e^{-ax^2}\cos(bx^2)$ | $\frac{1}{\sqrt{2}}(a^2+b^2)^{-1/4}e^{-\frac{1}{4}ay^2(a^2+y^2)^{-1}}cos\left[\frac{by^2}{4(a^2+b^2)}-\frac{1}{2}arctg\left(\frac{b}{a}\right)\right]$ |
| $\frac{1}{x}\sin\left(\frac{a}{x}\right)$ | $\sqrt{\frac{\pi}{2}}J_0(2\sqrt{ay})$ |
| $\frac{1}{\sqrt{x}}\sin\left(\frac{a}{x}\right)$ | $\frac{1}{2\sqrt{y}}\left[\sin(2\sqrt{ay}) + \cos(2\sqrt{ay}) - e^{-2\sqrt{ay}}\right]$ |
| $\left(\frac{1}{\sqrt{x}}\right)^3 \sin\left(\frac{a}{x}\right)$ | $\frac{1}{2\sqrt{a}}\left[\sin(2\sqrt{ay}) + \cos(2\sqrt{ay}) + e^{-2\sqrt{ay}}\right]$ |
| $\frac{1}{\sqrt{\chi}}\cos\left(\frac{a}{\chi}\right)$ | $\frac{1}{2\sqrt{y}}\left[\cos(2\sqrt{ay}) - \sin(2\sqrt{ay}) + e^{-2\sqrt{ay}}\right]$ |
| $\left(\frac{1}{\sqrt{\chi}}\right)^3 \cos\left(\frac{a}{\chi}\right)$ | $\frac{1}{2\sqrt{a}}\left[\cos(2\sqrt{ay}) - \sin(2\sqrt{ay}) + e^{-2\sqrt{ay}}\right]$ |
| $\frac{1}{\sqrt{x}}\sin(a\sqrt{x})$ | $\frac{2}{\sqrt{y}} \left[C\left(\frac{a^2}{4y}\right) sin\left(\frac{a^2}{4y}\right) - S\left(\frac{a^2}{4y}\right) cos\left(\frac{a^2}{4y}\right) \right]$ |
| $e^{-bx}\sin(a\sqrt{x})$ | $\frac{a}{\sqrt{2}}(b^2 + a^2)^{3/4}e^{-\frac{1}{4}a^2b(b^2 + y^2)^{-1}}\cos\left[\frac{a^2y}{4(b^2 + y^2)} - \frac{3}{2}arctg\left(\frac{y}{b}\right)\right]$ |
| $\frac{\sin(a\sqrt{x})}{x}$ | $\sqrt{2\pi} \left[S\left(\frac{a^2}{4y}\right) + C\left(\frac{a^2}{4y}\right) \right]$ |

| $\frac{1}{\sqrt{x}}\cos(a\sqrt{x})$ | $\sqrt{\frac{2}{y}}\sin\left(\frac{\pi}{4} + \frac{a^2}{4y}\right)$ |
|--|---|
| $\frac{e^{-ax}}{\sqrt{x}}\cos(b\sqrt{x})$ | $\sqrt{2}(a^2+y^2)^{-1/4}e^{-\frac{1}{4}ab^2(a^2+b^2)^{-1}}\cos\left[\frac{b^2y}{4(a^2+y^2)}-\frac{1}{2}arctg\left(\frac{y}{a}\right)\right]$ |
| $e^{-a\sqrt{x}}\cos(a\sqrt{x})$ | $a\sqrt{2}(2y)^{-3/2}e^{-a^2/(2y)}$ |
| $\frac{e^{-a\sqrt{x}}}{\sqrt{x}}\left[\cos(a\sqrt{x}) - \sin(a\sqrt{x})\right]$ | $\frac{1}{\sqrt{y}}e^{-a^2/(2y)}$ |
| | Синус – преобразование Фурье |
| f(x) | $F(y) = \sqrt{\frac{2}{\pi}} \int_0^{+\infty} f(x) \sin(xy) dx$ |
| $ \begin{cases} 1, & 0 < x < a, \\ 0, & x > a \end{cases} $ | $\sqrt{\frac{2}{\pi}} \frac{1 - \cos(ay)}{y}$ |
| $\begin{cases} x, & 0 < x < 1, \\ 2 - x, & 1 < x < 2, \\ 0, & x > 2 \end{cases}$ | $4\sqrt{\frac{2}{\pi}}y^{-2}\sin y\sin^2\left(\frac{y}{2}\right)$ |
| $\frac{1}{x}$ | $\sqrt{\frac{\pi}{2}}$ |
| $\begin{cases} \frac{1}{x}, & 0 < x < a, \\ 0, & x > a \end{cases}$ | $\sqrt{\frac{2}{\pi}}Si(ay)$ |
| $\begin{cases} 0, & 0 < x < a, \\ \frac{1}{x}, & x > a \end{cases}$ $\frac{1}{\sqrt{x}}$ | $-\sqrt{\frac{2}{\pi}}si(ay)$ |
| $\frac{1}{\sqrt{x}}$ | $\frac{1}{\sqrt{y}}$ |
| $\begin{cases} \frac{1}{\sqrt{x}}, & 0 < x < a, \\ 0, & x > a \end{cases}$ | $\frac{2S(ay)}{\sqrt{y}}$ |
| $\begin{cases} 0, & 0 < x < a, \\ \frac{1}{\sqrt{x}}, & x > a \end{cases}$ | $\frac{1 - 2S(ay)}{\sqrt{y}}$ |
| $\left(\frac{1}{\sqrt{x}}\right)^3$ | $2\sqrt{y}$ |

| $(a+x)^{-1}(a>0)$ | $\sqrt{\frac{2}{\pi}}[\sin(ay)\operatorname{Ci}(ay) - \cos(ay)\operatorname{si}(ay)]$ |
|---|---|
| $(a-x)^{-1}(a>0)$ | $\sqrt{\frac{2}{\pi}} \Big[\sin(ay) Ci(ay) - \cos(ay) \Big(\frac{\pi}{2} + Si(ay) \Big) \Big]$ |
| $\frac{x}{a^2 + x^2}$ | $\sqrt{\frac{\pi}{2}}e^{-ay}$ |
| $(a^2 - x^2)^{-1}$ | $\sqrt{\frac{2}{\pi}} \frac{1}{a} [\sin(ay) \operatorname{Ci}(ay) - \cos(ay) \operatorname{Si}(ay)]$ |
| $\begin{bmatrix} \frac{b}{b^2 + (a-x)^2} - \\ -\frac{b}{b^2 + (a+x)^2} \end{bmatrix}$ | $\sqrt{2\pi}e^{-by}\sin(ay)$ |
| $ \frac{a+x}{b^{2}+(a+x)^{2}} - \frac{a-x}{b^{2}+(a-x)^{2}} $ | $\sqrt{2\pi}e^{-by}\cos(ay)$ |
| $\frac{x}{a^2 - x^2}$ | $-\sqrt{\frac{\pi}{2}}\cos(ay)$ |
| $\frac{1}{x(a^2-x^2)}$ | $\sqrt{\frac{\pi}{2}} \frac{1 - \cos(ay)}{a^2}$ |
| $\frac{1}{x(a^2+x^2)}$ | $\sqrt{\frac{\pi}{2}} \frac{1 - e^{-ay}}{a^2}$ |
| x^{-v} , $0 < Re \ v < 2$ | $\sqrt{\frac{2}{\pi}}\cos\left(\frac{\pi v}{2}\right)\Gamma(1-v)y^{v-1}$ |
| e^{-ax} | $\sqrt{\frac{2}{\pi}} \frac{y}{a^2 + y^2}$ |
| $\frac{e^{-ax}}{x}$ | $\sqrt{\frac{2}{\pi}} \operatorname{arctg} \frac{y}{a}$ |
| $\frac{e^{-ax} - e^{-bx}}{x^2}$ | $\sqrt{\frac{2}{\pi}} \left[\frac{1}{2} y ln \left(\frac{b^2 + y^2}{a^2 + y^2} \right) + b \ arctg \left(\frac{y}{b} \right) - a \ arctg \left(\frac{y}{a} \right) \right]$ |
| $\sqrt{x}e^{-ax}$ | $\frac{\sqrt{2}}{2}(a^2+y^2)^{-3/4}\sin\left[\frac{3}{2}arctg\frac{y}{a}\right]$ |
| $\frac{e^{-ax}}{\sqrt{x}}$ | $\left(\frac{(a^2+y^2)^{1/2}-a}{a^2+y^2}\right)^{1/2}$ |

| $x^n e^{-ax}$ | $\sqrt{\frac{2}{\pi}} n! a^{n+1} (a^2 + y^2)^{-(n+1)} \sum_{m=0}^{\left[\frac{1}{2}n\right]} (-1)^m C_{n+1}^{2m+1} \left(\frac{y}{a}\right)^{2m+1}$ |
|---|---|
| $x^{v-1}e^{-ax}$ | $\sqrt{\frac{2}{\pi}}\Gamma(v)(a^2+y^2)^{-\frac{1}{2}v}sin\left[v\ arctg\ \frac{y}{a}\right]$ |
| $e^{-\frac{1}{2}x}(1-e^{-x})^{-1}$ | $\frac{1}{\sqrt{2\pi}}th(\pi y)$ |
| xe^{-ax^2} | $\sqrt{\frac{2}{a}} \frac{y}{4a} e^{-y^2/(4a)}$ |
| $x^{-1/2}e^{-a/x}$ | $\frac{1}{\sqrt{y}}e^{-\sqrt{2ay}}[\cos\sqrt{2ay} + \sin\sqrt{2ay}]$ |
| $x^{-3/2}e^{-a/x}$ | $\sqrt{\frac{2}{a}}e^{-\sqrt{2ay}}\sin\sqrt{2ay}$ |
| $ \begin{cases} \ln x, & 0 < x < 1, \\ 0, & x > 1 \end{cases} $ | $\sqrt{\frac{2}{\pi}} \frac{Ci(y) - C - \ln y}{y}$ |
| $\frac{\ln x}{x}$ | $-\sqrt{\frac{\pi}{2}}\left(C+\ln y\right)$ |
| $\frac{\ln x}{\sqrt{x}}$ | $\frac{1}{\sqrt{y}} \left[\frac{\pi}{2} - C - \ln(4y) \right]$ |
| $x(x^2-a^2)^{-1}\ln(bx)$ | $\sqrt{\frac{\pi}{2}} \left[\cos(ay) \left(\ln(ab) - Ci(ay) \right) - \sin(ay) si(ay) \right]$ |
| $x(x^2 - a^2)^{-1} \ln\left(\frac{x}{a}\right)$ | $-\sqrt{\frac{\pi}{2}}[\cos(ay) Ci(ay) + \sin(ay)si(ay)]$ |
| $e^{ax} lnx$ | $\sqrt{\frac{2}{\pi}} \frac{1}{a^2 + y^2} \left[aarctg\left(\frac{y}{a}\right) - Cy - \frac{1}{2}yln(a^2 + y^2) \right]$ |
| $ln\left \frac{a+x}{b-x}\right $ | $\sqrt{\frac{2}{\pi}} \cdot \frac{1}{y} \cdot (\ln \frac{a}{b} + \cos by \cdot Ci(by) - \cos ay \cdot Ci(ay) +$ |
| | $+\sin by \cdot Si(by) - \sin ay \cdot Si(ay) + \frac{\pi}{2} \cdot (\sin by + \sin ay))$ |
| $ln\left \frac{a+x}{a-x}\right $ | $\frac{\sqrt{2\pi}}{y}\sin(ay)$ |
| $\frac{1}{x^2} \ln \left(\frac{a+x}{a-x} \right)^2$ | $\frac{2\sqrt{2\pi}}{a}\left[1-\cos(ay)-ay\sin(ay)\right]$ |
| $ln\left(\frac{a^2+x^2+x}{a^2+x^2-x}\right)$ | $\frac{a}{2\sqrt{2\pi}} e^{-y\sqrt{a^2-1/4}} \sin\left(\frac{y}{2}\right)$ |

| $\left \ln \left 1 - \frac{a^2}{x^2} \right \right $ | 2 2 |
|---|---|
| 1 | $\frac{2}{y}\sqrt{\frac{2}{\pi}}\left[C + \ln(ay) - \cos(ay)Ci(ay) - \sin(ay)Si(ay)\right]$ |
| $ln\left(\frac{a^2 + (b+x)^2}{a^2 + (b-x)^2}\right)$ | $\frac{2\sqrt{2\pi}}{y}e^{-ay}\sin(by)$ |
| $\frac{1}{x}\ln 1-a^2x^2 $ | $-\sqrt{2\pi}Ci\left(\frac{y}{a}\right)$ |
| $\left \frac{1}{x} \ln \left 1 - \frac{a^2}{x^2} \right \right $ | $\sqrt{2\pi}[C + \ln(ay) - Ci(ay)]$ |
| $\frac{\sin(ax)}{x}$ | $\frac{1}{\sqrt{2\pi}} ln \left \frac{y+a}{y-a} \right $ |
| $\frac{\sin(ax)}{x^2}$ | $\begin{cases} \sqrt{\frac{\pi}{2}}y, & 0 < y < a, \\ \sqrt{\frac{\pi}{2}}a, & y > a \end{cases}$ |
| | $\sqrt{\frac{\pi}{2}}a, \qquad y > a$ |
| $\frac{\sin(\pi x)}{1-x^2}$ | $ \begin{cases} \sqrt{\frac{2}{\pi}}\sin y, & 0 \le y \le \pi, \end{cases} $ |
| $\sin(ax)$ | $0, 	 y \ge \pi$ $\sqrt{\pi} e^{-ab}$ |
| $\frac{b^2 + x^2}{b^2 + x^2}$ | $\begin{cases} \sqrt{\frac{\pi}{2}} \frac{e^{-ab}}{b} sh(by), & 0 < y < a, \\ \sqrt{\frac{\pi}{2}} \frac{e^{-by}}{b} sh(ab), & y > a \end{cases}$ |
| $e^{-bx}\sin(ax)$ | $\frac{1}{\sqrt{2\pi}}b\left[\frac{1}{b^2 + (a-y)^2} - \frac{1}{b^2 + (a+y)^2}\right]$ |
| $\frac{e^{-bx}\sin(ax)}{x}$ | $\frac{1}{4} \sqrt{\frac{2}{\pi}} \ln \left(\frac{b^2 + (y+a)^2}{b^2 + (y-a)^2} \right)$ |
| $\frac{x}{e^{-bx^2}\sin(ax)}$ | $\frac{1}{\sqrt{2b}}e^{-(a^2+y^2)/(4b)}sh\left(\frac{ay}{2b}\right)$ |
| $\frac{\sin^2(ax)}{x}$ | $\int_{1}^{1} \sqrt{2\pi}, 0 < y < 2a,$ |
| | $\begin{cases} \frac{1}{4}\sqrt{2\pi}, & 0 < y < 2a, \\ \frac{1}{8}\sqrt{2\pi}, & y = 2a, \\ 0, & y > 2a \end{cases}$ |
| $\frac{\sin^2(ax)}{x^2}$ | $\frac{1}{4}\sqrt{\frac{2}{\pi}}[(y+2a)\ln(y+2a) + (y-2a)\ln y-2a - 2ylny]$ |

| $\frac{\sin^2(ax)}{x^3}$ | $\int \frac{1}{4} \sqrt{2\pi} y \left(2a - \frac{y}{2}\right), 0 < y < 2a,$ |
|---------------------------------|---|
| | $ \sqrt{\frac{\pi}{2}} a^2, \qquad y > 2a $ $ (0, 0 < y < a,) $ |
| $\frac{\cos(ax)}{\cos(ax)}$ | (0, 0 < y < a, |
| x | $\begin{cases} \frac{1}{4}\sqrt{2\pi}, & y = a \end{cases}$ |
| | $\sqrt{\frac{\pi}{2}}$, $y > a$ |
| $\frac{x\cos(ax)}{b^2 + x^2}$ | $\int -\sqrt{\frac{\pi}{2}} e^{-ab} sh(by), 0 < y < a,$ |
| | $\begin{cases} \sqrt{\frac{\pi}{2}}e^{-by}ch(ab), & y > a \end{cases}$ |
| $\sin(ax^2)$ | $\frac{1}{\sqrt{a}} \left[\cos \left(\frac{y^2}{4a} \right) C \left(\frac{y^2}{4a} \right) + \sin \left(\frac{y^2}{4a} \right) S \left(\frac{y^2}{4a} \right) \right]$ |
| $\frac{\sin(ax^2)}{x}$ | $\sqrt{\frac{\pi}{2}} \left[C \left(\frac{y^2}{4a} \right) - S \left(\frac{y^2}{4a} \right) \right]$ |
| $\cos(ax^2)$ | $\frac{1}{\sqrt{a}} \left[\sin\left(\frac{y^2}{4a}\right) C\left(\frac{y^2}{4a}\right) - \cos\left(\frac{y^2}{4a}\right) S\left(\frac{y^2}{4a}\right) \right]$ |
| $\frac{\cos(ax^2)}{x}$ | $\sqrt{\frac{\pi}{2}} \left[C \left(\frac{y^2}{4a} \right) + S \left(\frac{y^2}{4a} \right) \right]$ |
| $e^{-a\sqrt{x}}\sin(a\sqrt{x})$ | $\frac{a}{2y\sqrt{y}}e^{-a^2/(2y)}$ |

| Преобразование Фурье | | |
|---|---|--|
| $f(\mathbf{x})$ | $F(y) = \sqrt{2\pi} \int_{-\infty}^{+\infty} f(x)e^{ixy}dx$ | |
| $\begin{cases} A, & a \le x \le b, \\ 0, & x < a \text{ if } x > b \end{cases}$ | $\frac{iA}{y\sqrt{2\pi}}(e^{iay}-e^{iby})$ | |
| $\begin{cases} x^n, & o \le x \le b, \\ 0, & x < 0 \text{ if } x > b \end{cases} $ (n=1,2,3,) | $\frac{1}{\sqrt{2\pi}} \left[n! \left(-iy \right)^{-(n+1)} - e^{iby} \sum_{m=0}^{n} \frac{n!}{m!} \left(-iy \right)^{m-n-1} b^m \right]$ | |
| $\frac{1}{(a+ix)^{v}}, Re \ v>0$ | $\begin{cases} \frac{\sqrt{2\pi}}{\Gamma(v)} y^{v-1} e^{-ay}, & y > 0, \\ 0, & y < 0 \end{cases}$ | |
| $\frac{1}{(a-ix)^{v}}, Re \ v > 0$ | $\begin{cases} \frac{\sqrt{2\pi}}{\Gamma(v)} (-y)^{v-1} e^{-ay}, & y < 0, \\ 0, & y > 0 \end{cases}$ | |

Обозначения, используемые в приложение:

$$\begin{split} \Gamma(z) &= \int_0^{+\infty} e^{-t} t^{\,z-1} dt, \; Re \; z > 0 \quad \text{гамма-функция} \\ J_v(z) &= \sum_{n=1}^{\infty} \frac{(-1)^n \left(\frac{1}{2}z\right)^{v+2n}}{n \,! \, \Gamma(v+n+1)} \qquad \qquad \text{функция Бесселя} \\ K_v(z) &= \frac{1}{2} \pi (\sin(\pi v))^{-1} [I_{-v}(z) - I_v(z)], \, \text{где} \; I_v = e^{-\frac{i\pi v}{2}} J_v(ze^{\frac{i\pi}{2}}) \end{split}$$

интегралы Френеля:

$$C(x) = \frac{1}{\sqrt{2\pi}} \int\limits_0^x \frac{\cos t}{\sqrt{t}} dt$$

$$S(x) = \frac{1}{\sqrt{2\pi}} \int\limits_0^x \frac{\sin t}{\sqrt{t}} dt$$

$$Si(x) = \int_0^x \frac{\sin t}{t} dt$$

$$Si(x) = \int_0^x \frac{\sin t}{t} dt$$
 интегральный синус

$$Ci(x) = -\int_{x}^{+\infty} \frac{\cos t}{t} dt$$
 интегральный косинус

С – постоянная Эйлера (С = 0,57721 ...)